

Planche 41

Euroemys vidalenci n. g. n. sp. ; Holotype MNHN EBA 510 ; Trotte-Cos (Aude, France), Lutétien.

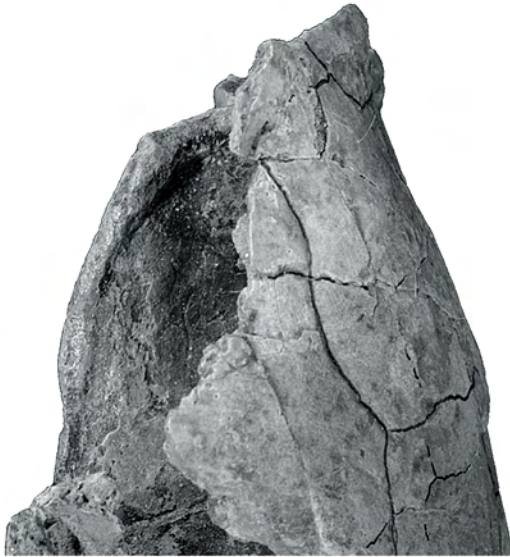
Fig. A : carapace, vue latérale avec détail du bourrelet gulaire.

Fig. B : carapace, face dorsale.

Fig. C : carapace, face ventrale, vue latérale gauche.

Fig. D : Carapace, face ventrale, vue latérale droite.

A
1 cm



B
2 cm



C
2 cm



D
2 cm



Planche 42

***Borkenia oschkinisi* Schleich, 1994a ; Musée de la ville de Borken (en dépôt au Musée de la ville de Kassel, Allemagne) ; Borken (Hessen, Allemagne) ; Lutétien.**

Fig. A : 1992/3, fragment de dossière, face dorsale.

Fig. B : 1992/3, fragment de dossière, face ventrale.

Fig. C : Holotype, 1992/2, carapace, face dorsale.

Fig. D : Holotype, 1992/2, dossière et une partie du plastron, face ventrale.

Fig. E : Holotype, 1992/2, carapace, face ventrale.

Fig. F : Holotype, 1992/2, détail du bourrelet gulaire et de l'avant de la dossière, face dorsale.

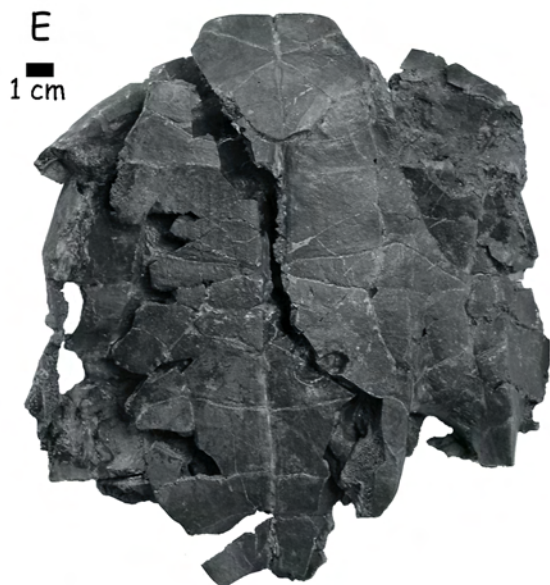
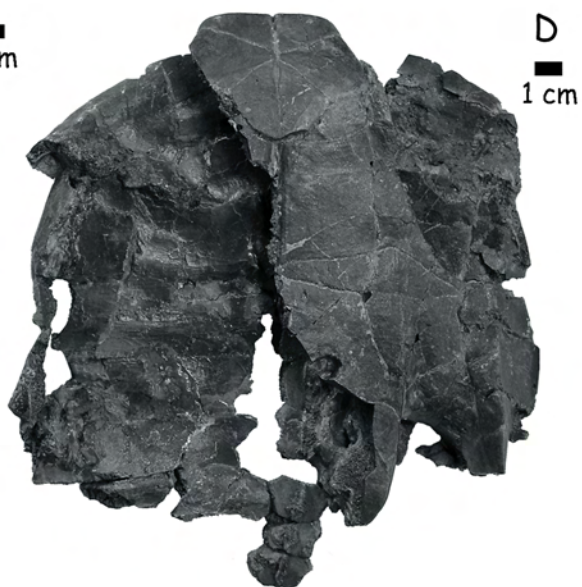
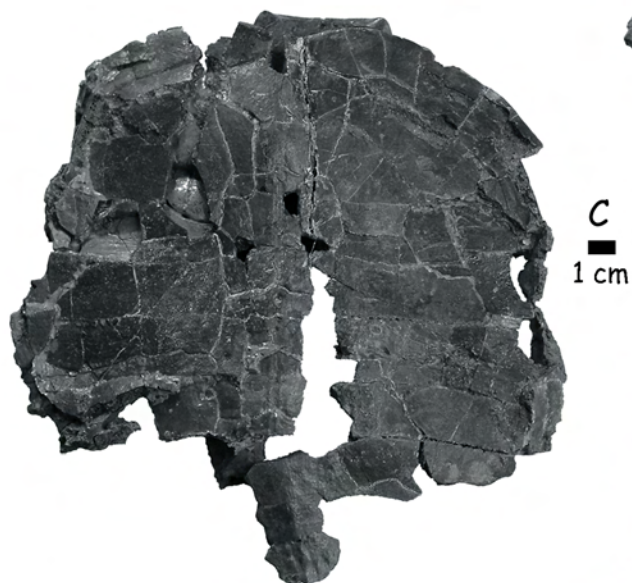
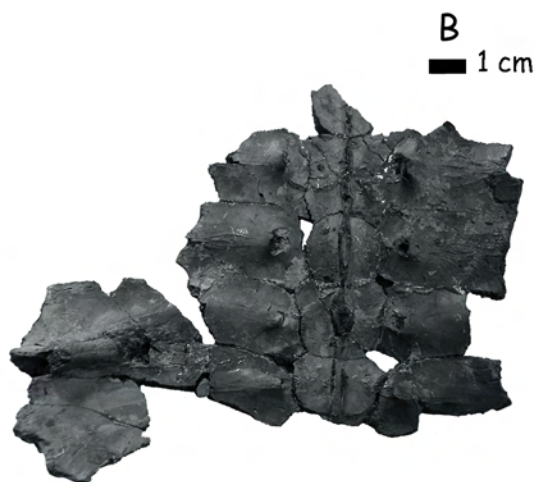
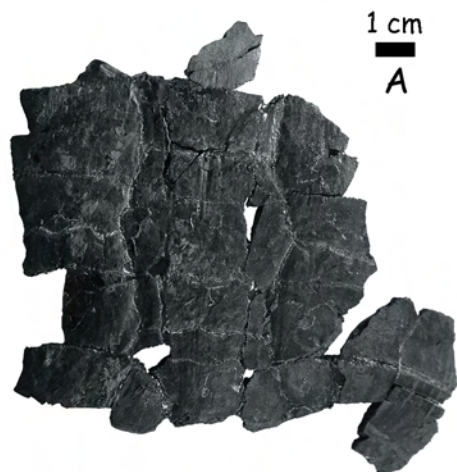


Planche 43

***Borkenia germanica* (Hummel, 1935) n. comb. ; Geiseltal (Saale, Allemagne) ; Lutétien.**

Fig. A et C : GM-MLU VII-223-1951-10867, carapace, face dorsale.

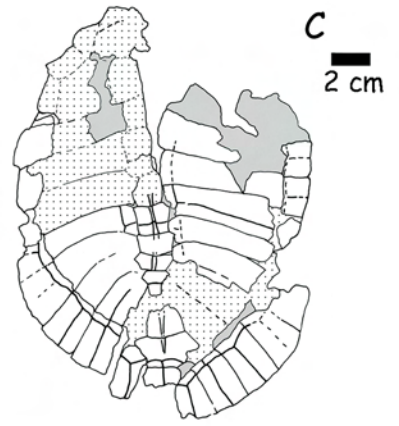
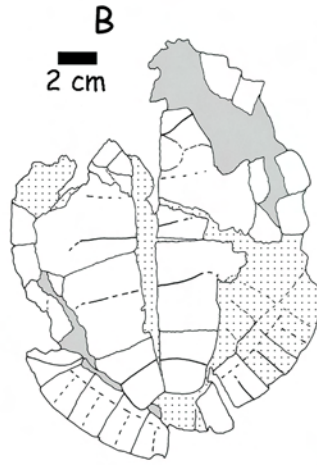
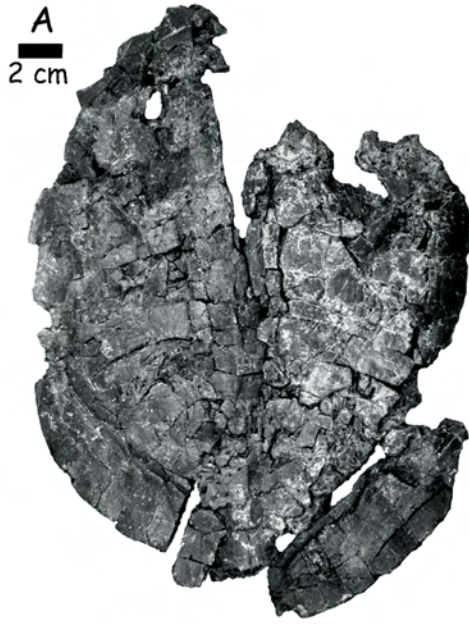
Fig. B : GM-MLU VII-223-1951-10867, carapace, face ventrale.

Fig. D et E : Holotype, GM-MLU Leo-100 (LeoI/6977), carapace, face dorsale.

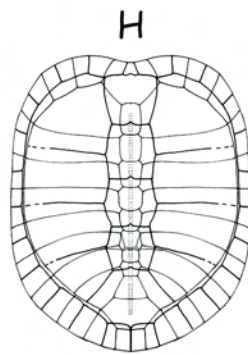
Fig. F et G : Holotype, GM-MLU Leo-100 (LeoI/6977), carapace, face ventrale.

Fig. H : reconstitution proposée, carapace, face dorsale.

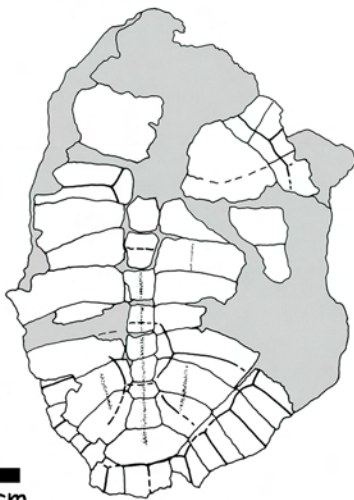
Fig. I : reconstitution proposée, carapace, face ventrale.



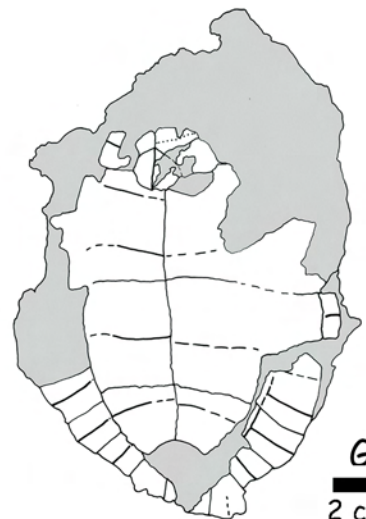
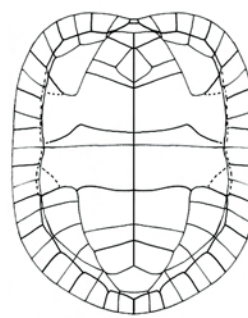
D
2 cm



F
2 cm



E
2 cm



G
2 cm

Planche 44

***Borkenia germanica* (Hummel, 1935) n. comb. ; Geiseltal (Saale, Allemagne) ; Lutétien.**

Fig. A et B : Paratype, GM-MLU Leo-127 (LeoI/6978), carapace, face dorsale.

Fig. C et D : Paratype, GM-MLU Leo-127 (LeoI/6978), carapace, face ventrale.

Fig. E et F : Paratype, GM-MLU Ce-1297 (CeII/6846), carapace, face dorsale.

Fig. G et H : Paratype, GM-MLU Ce-1297 (CeII/6846), carapace, face ventrale.

Fig. I : Paratype, GM-MLU Leo-73 (LeoI/6973), plastron, face ventrale.

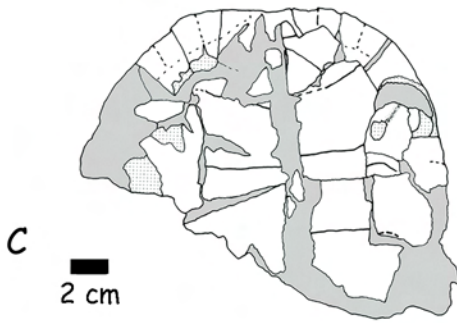
Fig. I : Paratype, GM-MLU Leo-XXI (LeoI/6974), carapace, face ventrale.



A



B



C



D



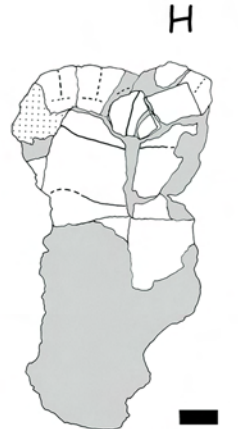
E



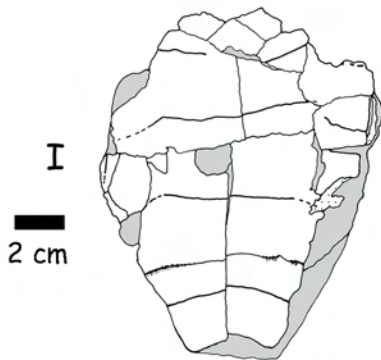
F



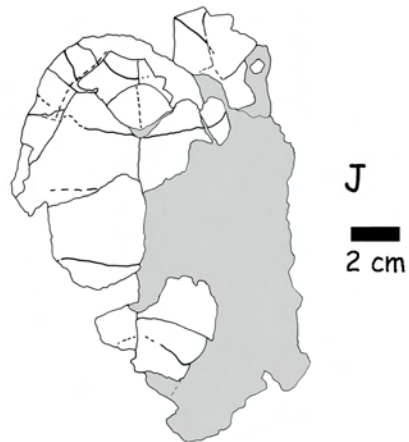
G



H



I



J

Planche 45

***Borkenia germanica* (Hummel, 1935) n. comb. ; Geiseltal (Saale, Allemagne) ; Lutétien.**

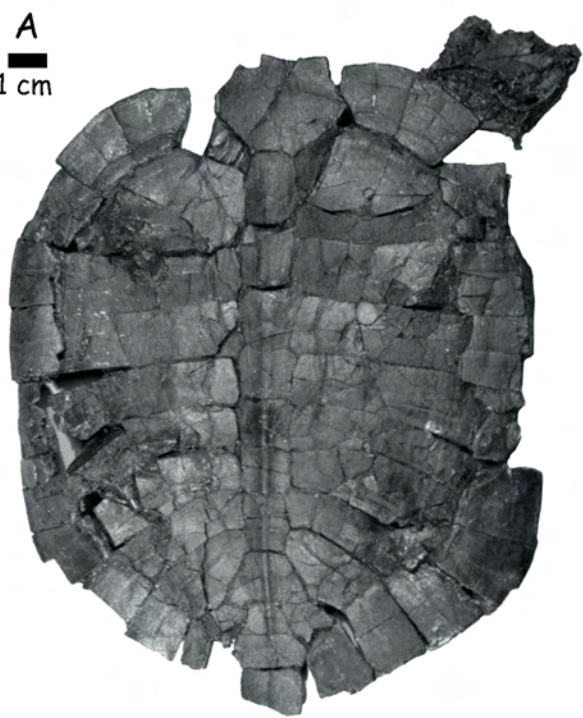
Fig. A et C : GM-MLU VII-86-1950, carapace, face dorsale.

Fig. B et D : GM-MLU VII-86-1950, carapace, face ventrale.

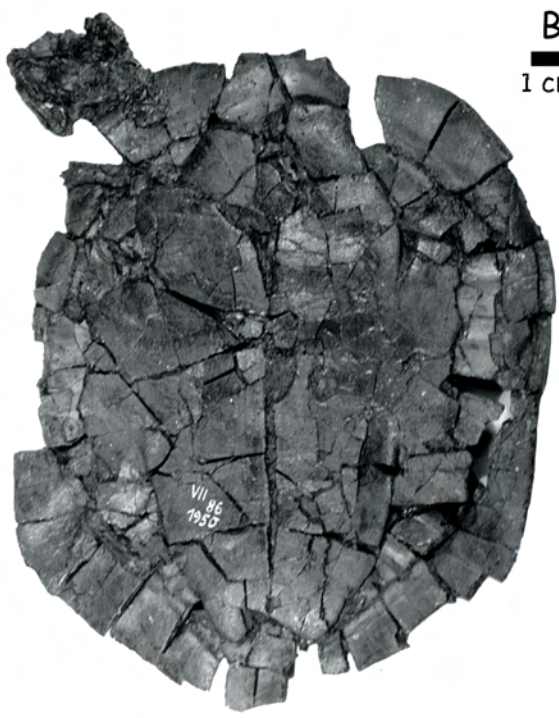
Fig. E : GM-MLU H/76-1949, lobe antérieur de plastron, face dorsale.

Fig. F : GM-MLU H/76-1949, lobe antérieur de plastron, face ventrale.

A
1 cm



B
1 cm

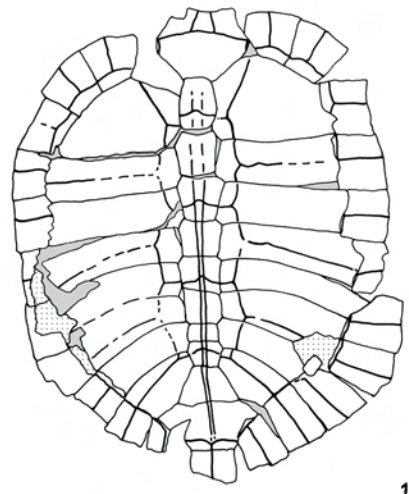


E

1 cm

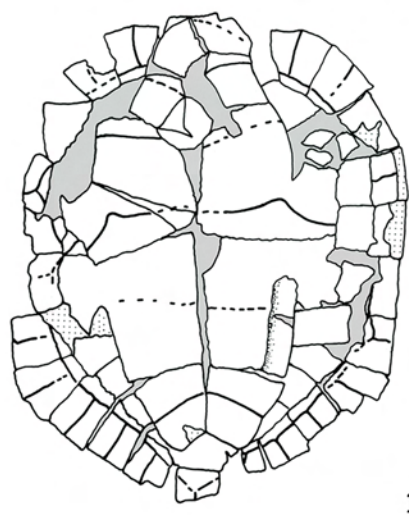


F



C

1 cm



D

1 cm

Planche 46

***Borkenia* aff. *oschkinisi* Schleich, 1994a ; Messel (Allemagne) ; Lutétien.**

Fig. A et B : LNK-395, carapace, face ventrale.

Fig. C et D : reconstitution proposée des spécimens de Messel, carapace, face dorsale et ventrale.

Fig. E et F : SMNS 54849, carapace, face ventrale.

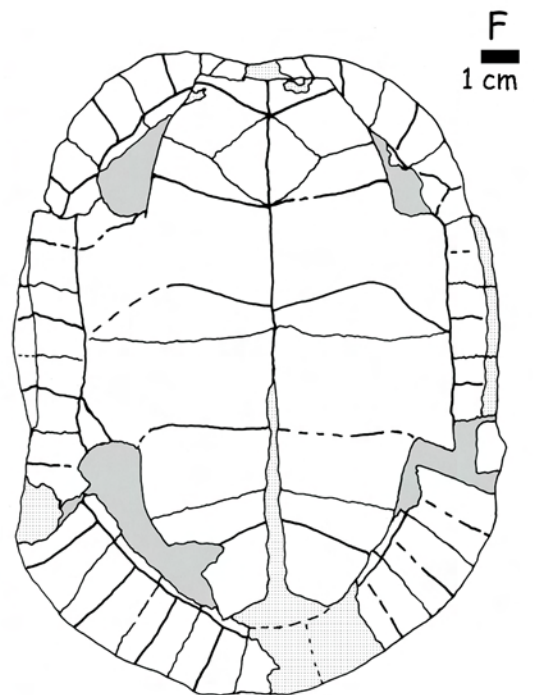
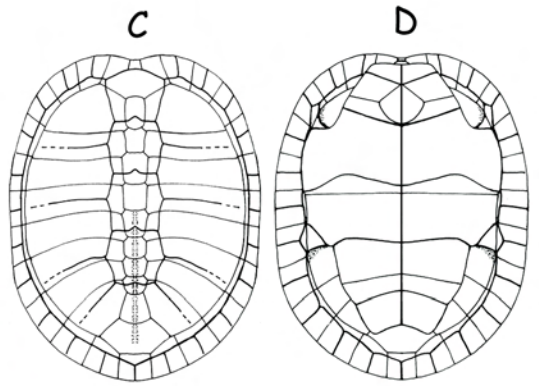
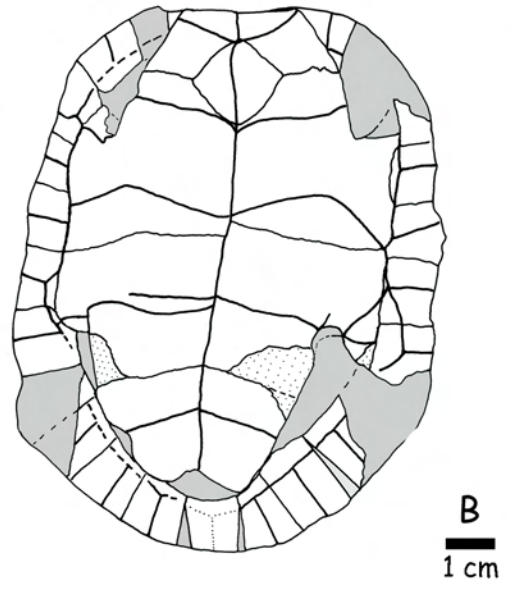


Planche 47

***Borkenia* aff. *oschkinisi* Schleich, 1994a ; Messel (Allemagne) ; Lutétien.**

Fig. A et B : IRSBN IG28502, carapace, face dorsale.

Fig. C et D : IRSBN IG28502, carapace, face ventrale.

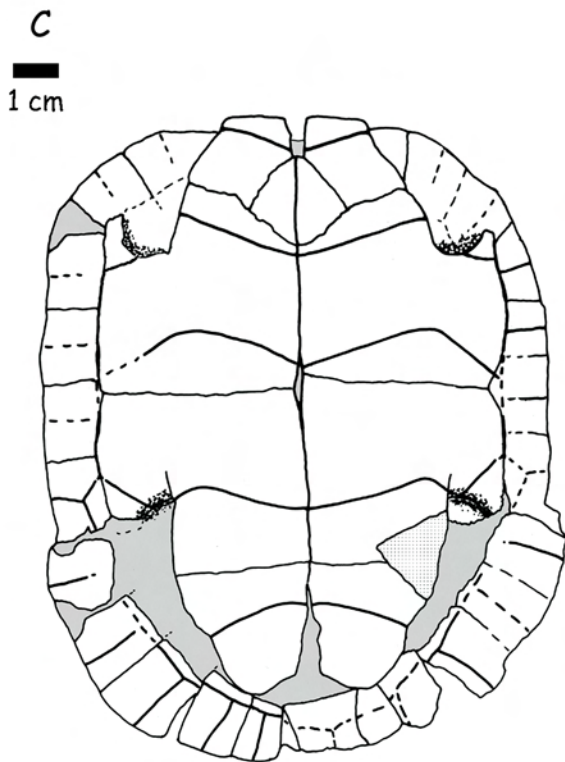
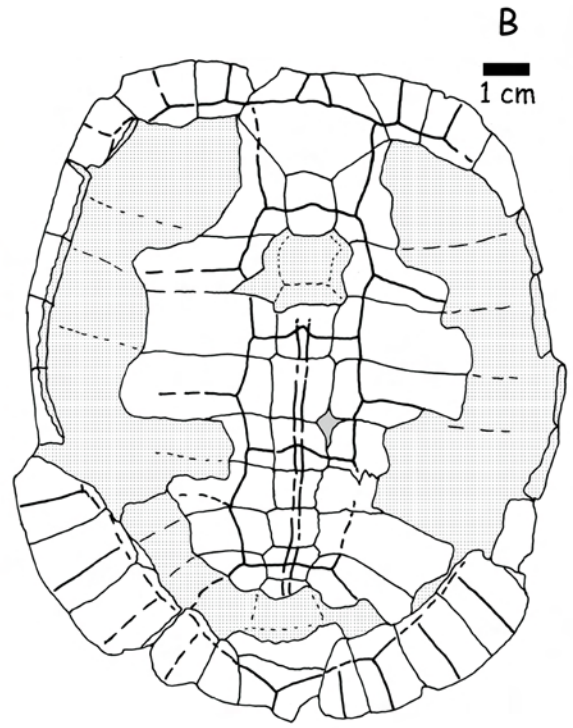
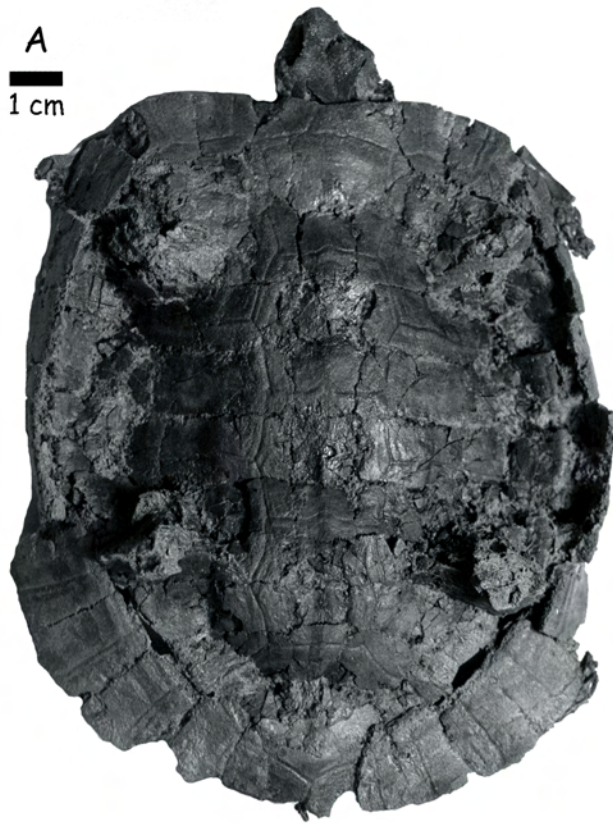


Planche 48

Reproduction de la planche originale LXXVI de Cuvier (1822)

Cuvierichelys parisiensis (Gray, 1831) ; Gypse de Montmartre (Paris, France) ; Priabonien.
Syntypes : fig. 3, 5, 6, 15, 18 et 20 (figures inversées).

Légendes de la planche d'après Cuvier (1836, Pl 157) :

« Fig. 3. Pièce impaire du plastron, placée en avant en la première et la seconde paire des huit autres pièces ; d'une espèce de tortue fossile d'eau douce. »

« Fig. 5 et 6. Fragments de côtes de tortue fossile d'eau douce, plus petites que l'espèce des fig. 4 et 15. »

(N.B. : fig. 4 : *Cheirogaster* sp.)

« Fig. 15. Os du plastron d'une espèce fossile de tortue d'eau douce. »

« Fig. 18. Partie plane du rebord postérieur de la carapace d'une tortue d'eau douce. »

« Fig. 20. Fémur fossile semblable à celui des tortues d'eau douce. »

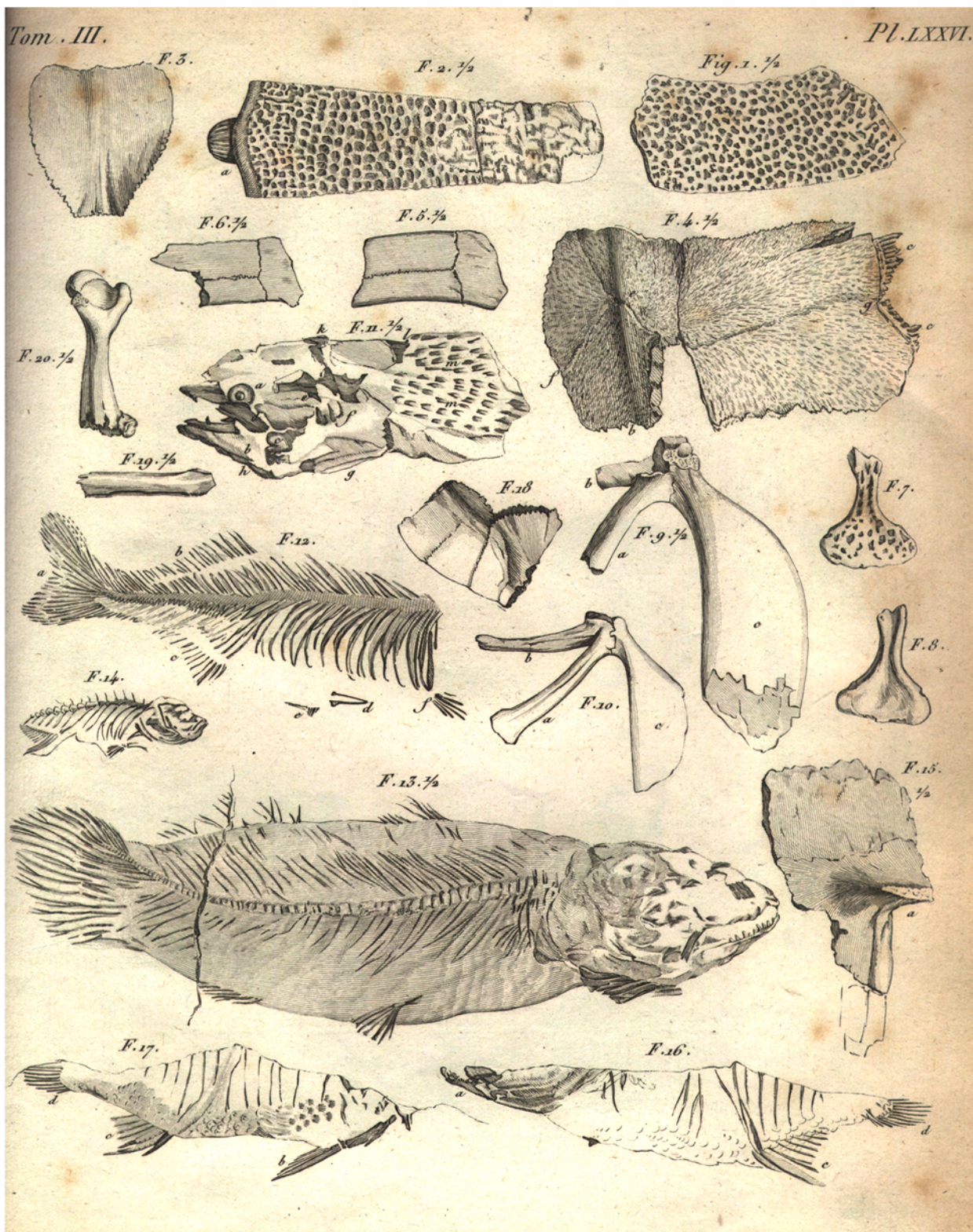


Planche 49

Reproduction de la planche originale LXXVII de Cuvier (1822)

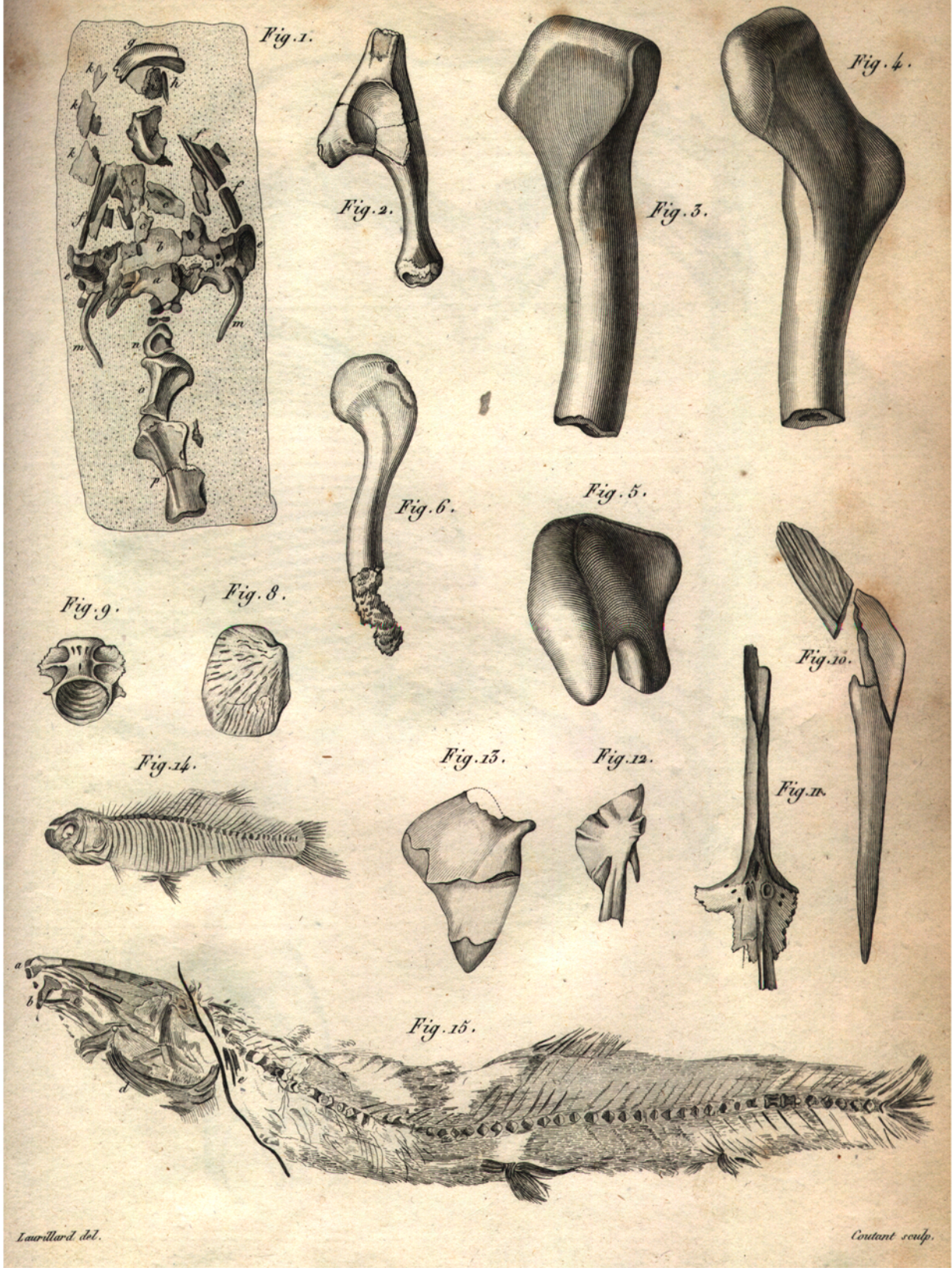
Cuvierichelys parisiensis (Gray, 1831) ; Gypse de Montmartre (Paris, France) ; Priabonien.
Syntypes : fig. 1, 2 et 6 (figures inversées).

Légendes de la planche d'après Cuvier (1836, Pl. 158) :

- « Fig. 1. Tête et trois vertèbres cervicales d'une espèce fossile de tortue d'eau douce. »
- « Fig. 2. Portion de bassin d'un trionyx fossile, contenant la fosse cotyloïde, et des parties des trois os qui concourent à la former. »
- « Fig. 6. Fémur de tortue d'eau douce, mutilé par le bas. »

Tom. III.

Pl. LXXVII.



Laurillard del.

Contant sculp.

Planche 50

Cuvierichelys parisiensis (Gray, 1831) ; Paris (France) et sa région, Eocène supérieur.

Fig. A : plastron, face ventrale ; Romainville, d'après la planche originale de Botez (1921a, Pl. IV, fig. 1).

Fig. B: SP2 et pygale, face dorsale : Romainville, d'après la planche originale de Botez (1921a, Pl. IV, fig. 3b).

Fig. C : fragment antérieur de dossière, face dorsale ; Romainville, d'après la planche originale de Botez (1921a, Pl. IV, fig. 3a).

Fig. D : fragment antérieur de dossière, face dorsale ; Romainville, d'après la planche originale de Botez (1921a, Pl. IV, fig. 5).

Fig. E : MNHN 1901-32 GY 11, dossière, face dorsale ; Gypse de Paris, d'après Broin (1977).

Fig. F : Syntype, MNHN 8249, fragment d'hypoplastron gauche, face dorsale ; Gypse de Paris.

Fig. G : Syntype, MNHN 8249, fragment d'hypoplastron gauche, face ventrale ; Gypse de Paris.

Fig. H et I : MNHN GY 12, dossière, face dorsale ; Marnes supragypseuses.

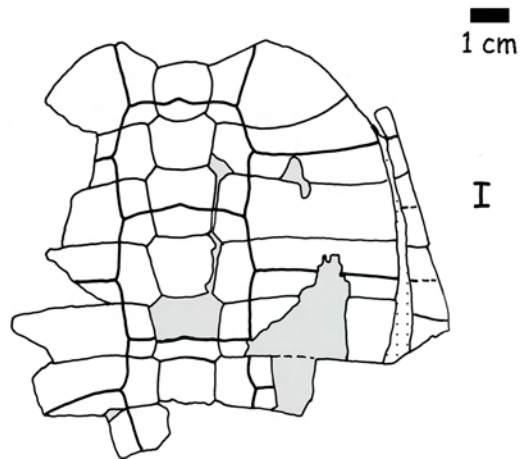
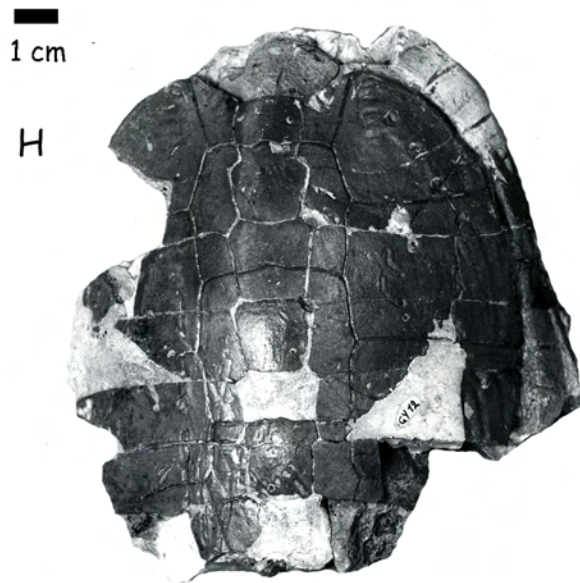
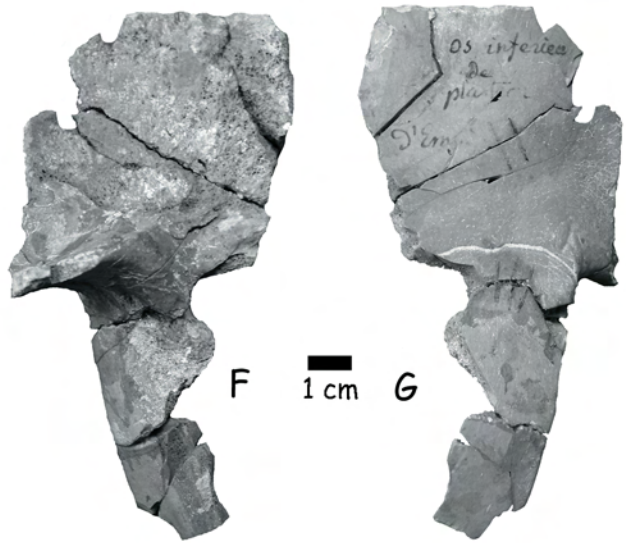
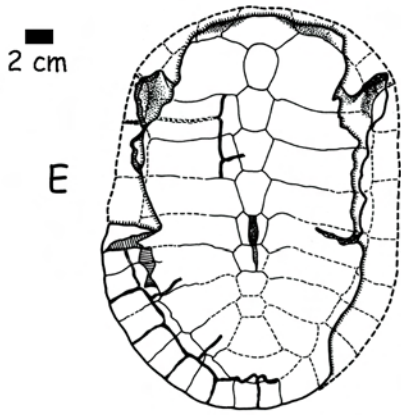
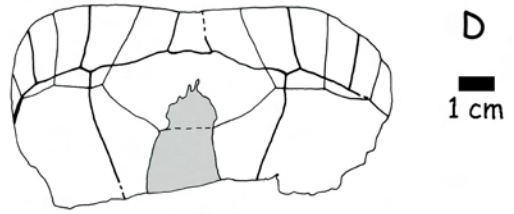
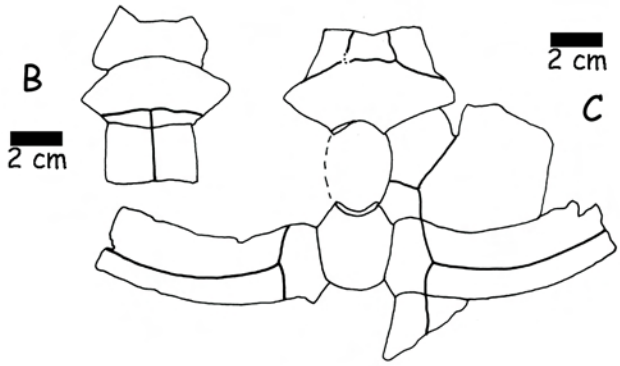
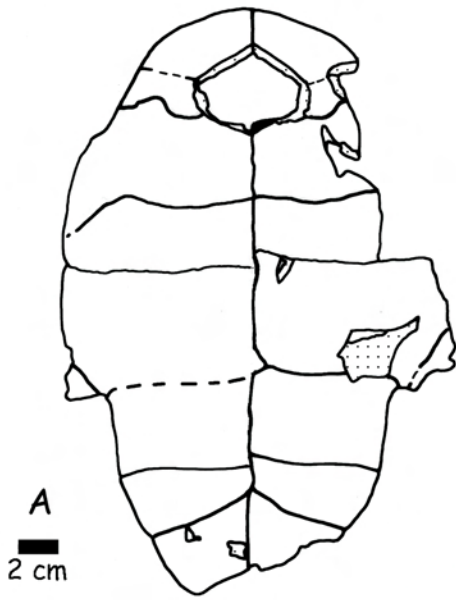


Planche 51

***Cuvierichelys parisiensis* (Gray, 1831) ; Paris (France) et sa région, Eocène supérieur.**

Fig. A et B : MNHN GY 10, fragment postérieur de dossière, face dorsale ; Gypse de Paris.

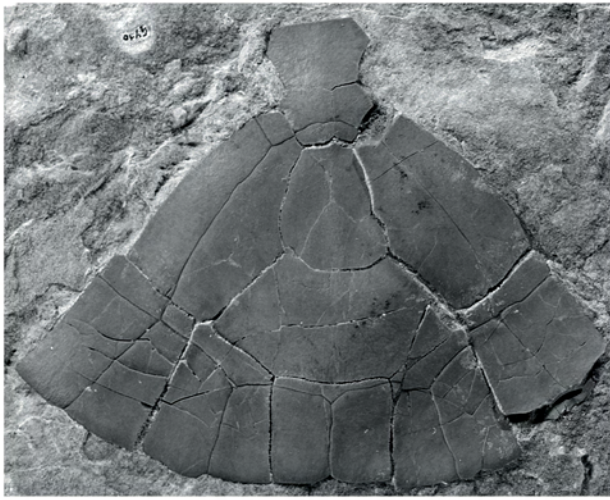
Fig. C et D : MNHN 1881-33 GY 14, fragment de dossière et moule interne, face dorsale ; Marnes supragypseuses.

Fig. E : Contre-empreinte de la PL1 (en vue interne) de la dossière MNHN 1881-33 GY 14 ; Marnes supragypseuses.

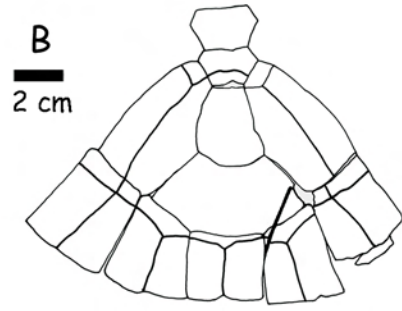
Fig. F : Contre-empreinte de nucale et du bord antérieur de la dossière MNHN 1901-32 GY 11 ; Gypse, Romainville.

Fig. G : Syntype MNHN 8259, fragment de nucale et Per1 droite, face ventrale ; Gypse de Paris.

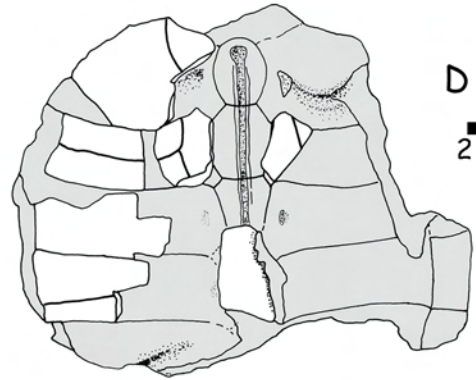
Fig. H : Syntype MNHN 8259, fragment de nucale et Per1 droite, face dorsale ; Gypse de Paris.



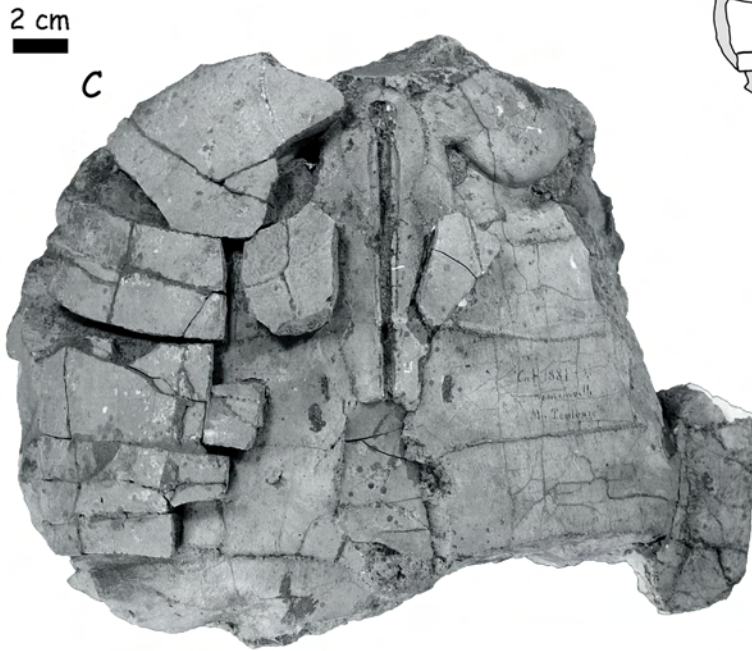
A 1 cm



B 2 cm



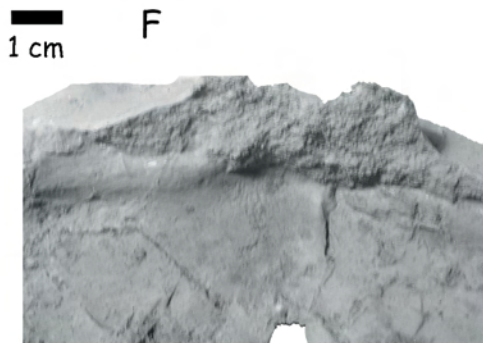
D 2 cm



C 2 cm



E 1 cm



F 1 cm



G



H 1 cm

Planche 52

***Cuvierichelys parisiensis* (Gray, 1831) ; Paris (France) et sa région, Eocène supérieur.**

Fig. A : MNHN 1901-32 GY 11, plastron, face dorsale ; Gypse, Romainville.

Fig. B : MNHN 1901-32 GY 11, plastron, face ventrale ; Gypse, Romainville.

Fig. C : MNHN 1873-432 GY 9, lobe antérieur, face dorsale ; Gypse, Noisy-le-Sec.

Fig. D : MNHN 1873-432 GY 9, lobe antérieur, face ventrale ; Gypse, Noisy-le-Sec.

Fig. E : MNHN 1901-32 GY 11, détail du bourrelet gulaire, face dorsale ; Gypse, Romainville.

Fig. F : MNHN 1873-432 GY 9, détail du bourrelet gulaire, face dorsale ; Gypse, Noisy-le-Sec.

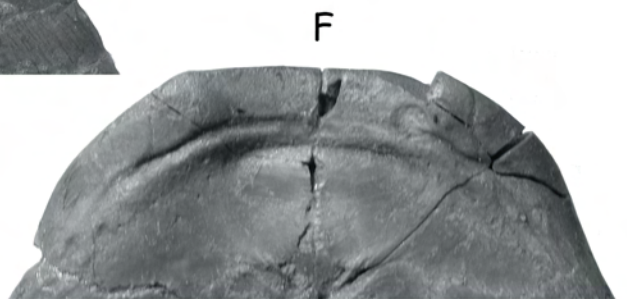
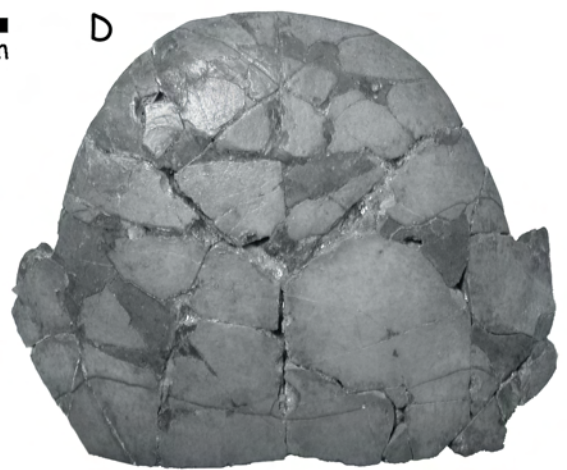
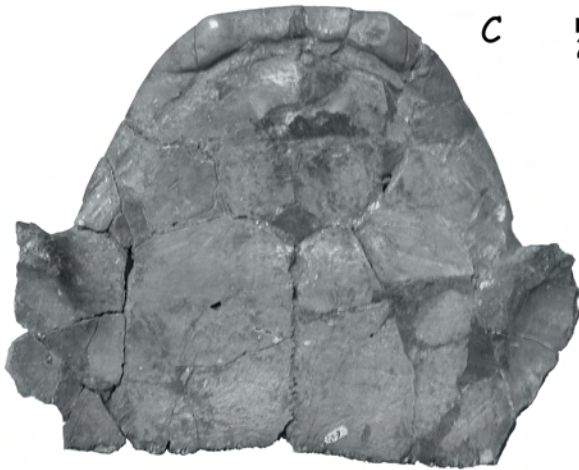


Planche 53

***Cuvierichelys* « *crassa* » (Owen, 1849) ; Hordle Cliff (Hampshire, Grande-Bretagne) ; Priabonien.**

Fig. A : Syntype BMNH 30410a, hyoplastron droit, face ventrale.

Fig. B : Syntype BMNH 30410a, hyoplastron droit, face dorsale.

Fig. C : BMNH 30410e, hyoplastron droit, face ventrale.

Fig. D : BMNH 30410e, hyoplastron droit, face dorsale.

Fig. E : BMNH 30410f, hypoplastron gauche, face ventrale.

Fig. F : BMNH 30410f, hypoplastron gauche, face dorsale.

Fig. G : BMNH 38102, épipastron droit, face ventrale.

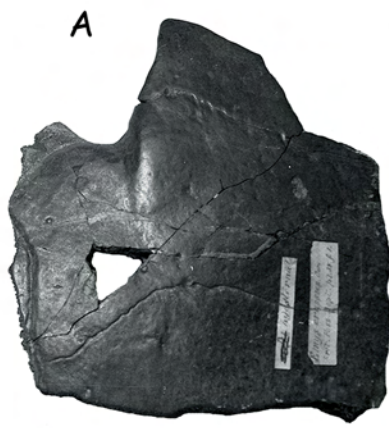
Fig. H : reproduction de la figure originale de Owen (1849, Pl. XXIV, fig. 5), BMNH 38102, épipastron droit, face dorsale.

Fig. I : BMNH R1574, épipastron droit, face ventrale.

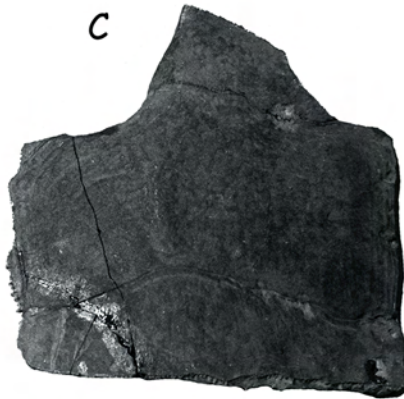
Fig. J : BMNH R1574, épipastron droit, face dorsale.

Fig. K : BMNH R1573, épipastron droit, face ventrale.

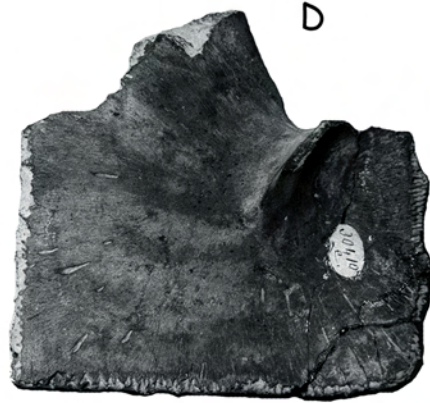
Fig. L : BMNH R1573, épipastron droit, face dorsale.



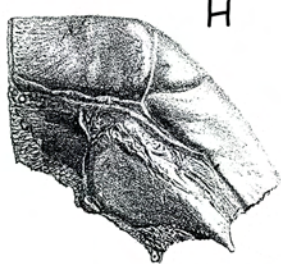
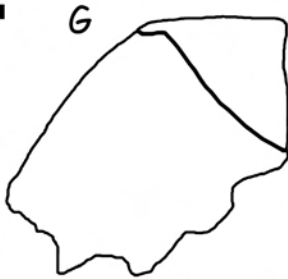
1 cm



1 cm



1 cm



1 cm



E

1 cm



1 cm



F

Planche 54

***Cuvierichelys* « *crassa* » (Owen, 1849) ; Hordle Cliff (Hampshire, Grande-Bretagne) ; Priabonien.**

Fig. A : BMNH R1561, fragment de dossière, face dorsale.

Fig. B : BMNH R1561, fragment de dossière, face ventrale.

Fig. C : BMNH R1561, fragment postérieur de plastron, face dorsale.

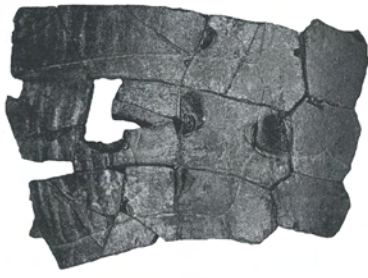
Fig. D : reproduction de la planche originale de Seeley (1876, fig. 1), dossière, face dorsale.

Fig. E : reproduction de la planche originale de Seeley (1876, fig. 2), plastron, face ventrale.

Fig. F : BMNH 32349x, fragment postérieur de dossière, face dorsale.

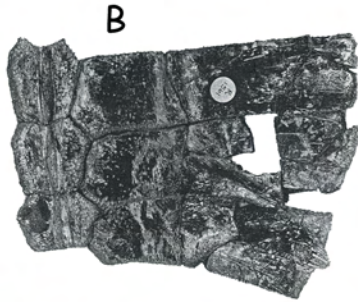
Fig. G : BMNH R1579, xiphiplastrons, face ventrale.

Fig. H : BMNH R1579, xiphiplastrons, face dorsale.

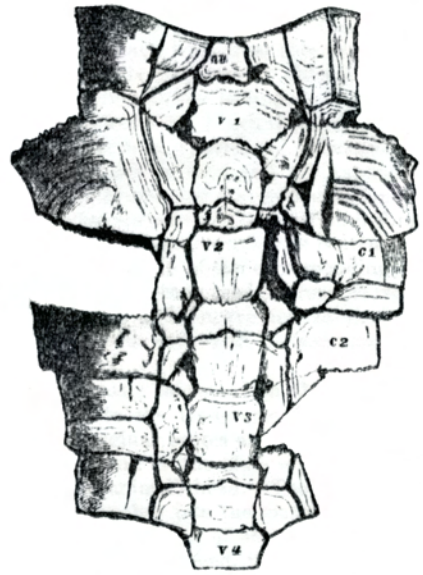


A

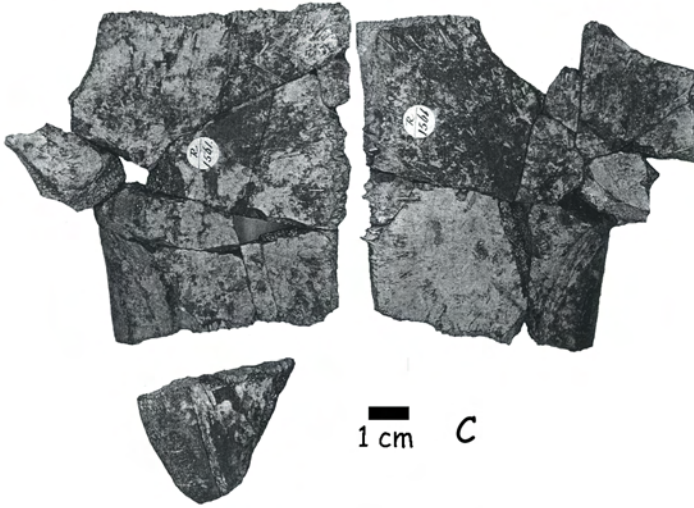
2 cm



B



D



1 cm C



E



F

2 cm



G

1 cm



H

Planche 55

***Cuvierichelys* sp. groupe *parisiensis* ; MNHN RCR 1; La Roche-Ragot (Maine-et-Loire, France) ; Eocène supérieur.**

Fig. A : nucale, face dorsale.

Fig. B : nucale, face ventrale.

Fig. C : Per1 et 2 gauches, face dorsale.

Fig. D : fragment du lobe antérieur du plastron, face dorsale.

Fig. E : fragment du lobe postérieur du plastron, face dorsale.

Fig. F : carapace, vue antérieure.

Fig. G et J : carapace, face ventrale.

Fig. H et I : carapace (dans les fragments des lobes antérieur et postérieur du plastron), face dorsale.

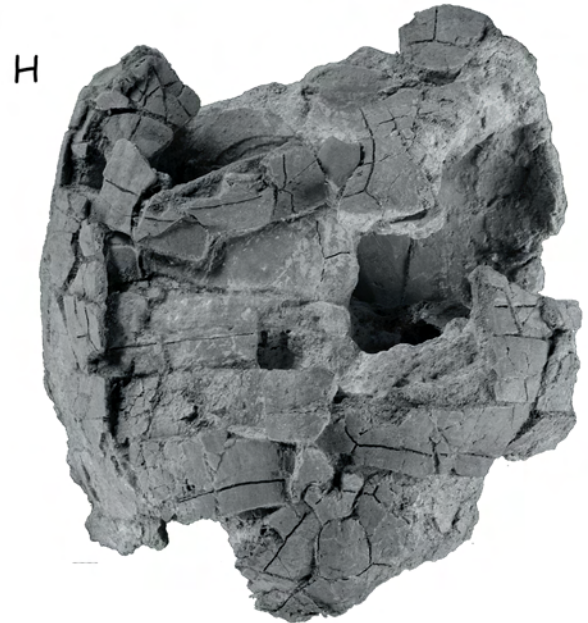
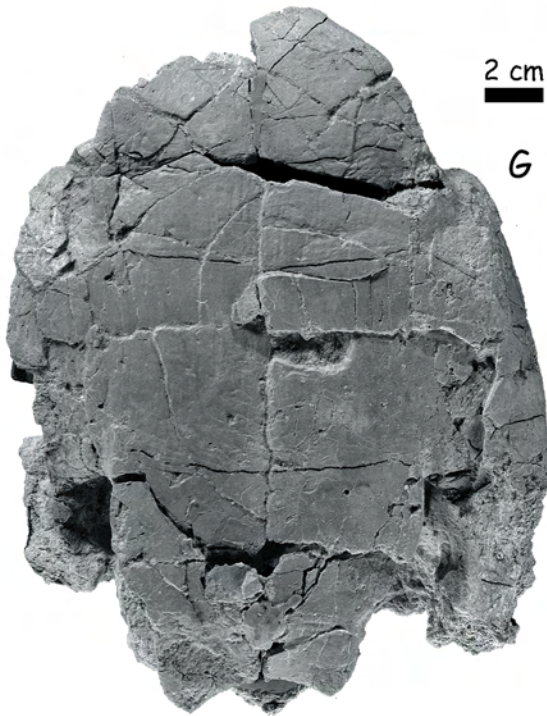
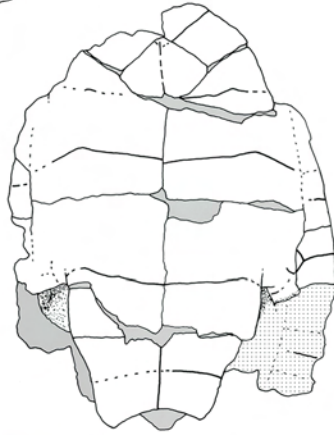
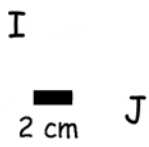
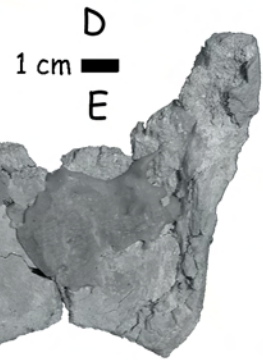
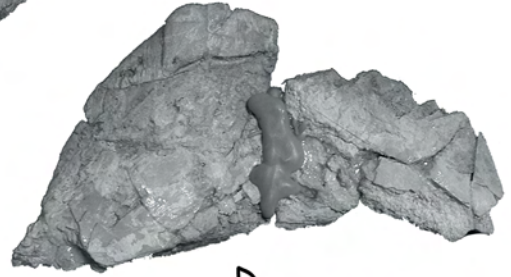
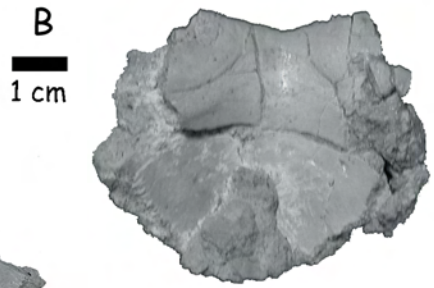


Planche 56

***Cuvierichelys* sp. groupe *parisiensis* ; BMHN R5268 ; Yarmouth (Ile de Wight, Grande-Bretagne) ; limite Eocène-Oligocène.**

Fig. A : plastron, face dorsale.

Fig. B et F : plastron, face ventrale.

Fig. C et D : fragment antérieur de dossière, face dorsale.

Fig. E : fragment antérieur de dossière, face ventrale.



A

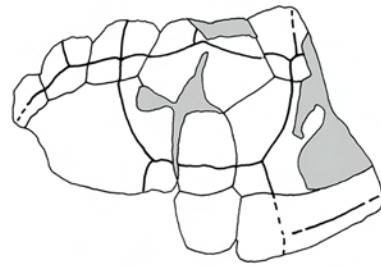
2 cm

B



C

1 cm



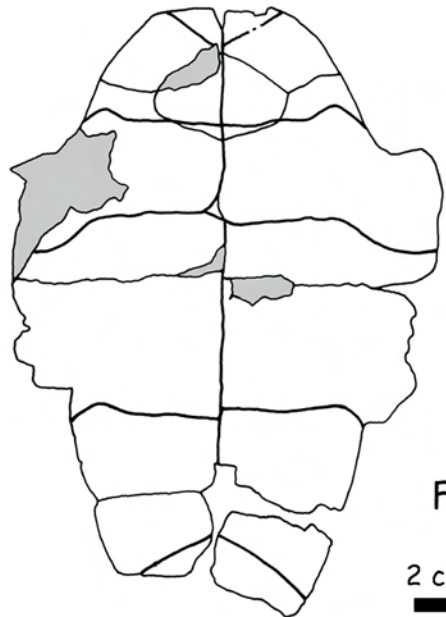
D

2 cm



E

1 cm



F

2 cm

Planche 57

***Cuvierichelys iberica* (Bergounioux, 1958) ; Tarrega (Espagne) ; Stampien.**

Fig. A : Holotype, Musée de Géologie de Barcelone n° 4.180, dossière, face dorsale.

Fig. B : Holotype, Musée de Géologie de Barcelone n° 4.180, plastron, face ventrale.

Fig. C : fragment postérieur de dossière, face ventrale, Musée de Géologie de Barcelone.

Fig. D : carapace, face ventrale, Seminario Conciliar de Barcelone.

Fig. E : fragment latéral de dossière, Seminario Conciliar de Barcelone.

Fig. F : fragment de plastron, face dorsale et contre-empreinte de la face ventrale du plastron, Seminario Conciliar de Barcelone.

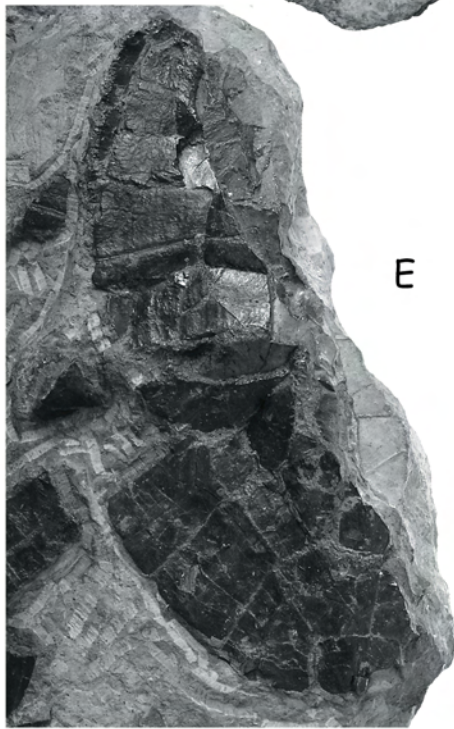
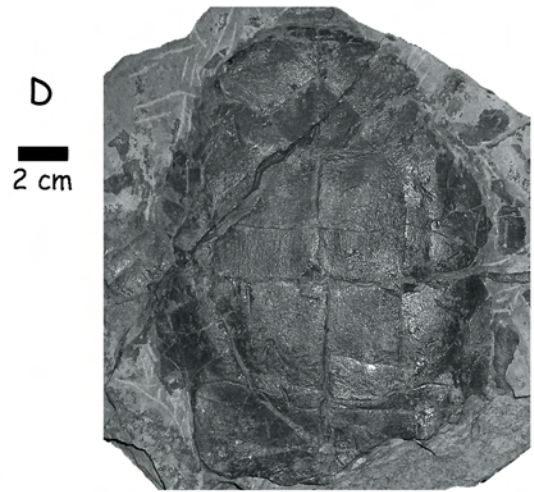
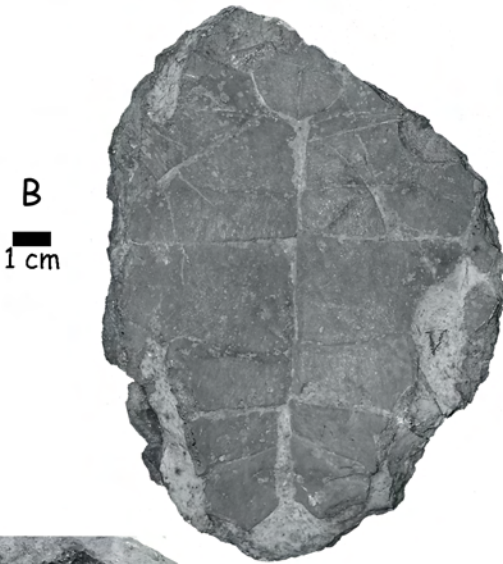
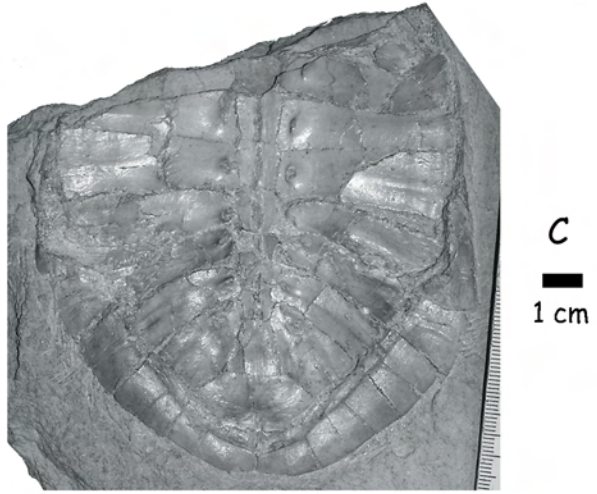


Planche 58

***Bergouniouxchelys vallisnerii* (Bergounioux, 1954) ; Monteviale (Italie) ; Sannoisien.**

Fig. A et B : Holotype, IGPG Monteviale n°1 ; carapace, face ventrale.

Fig. C et D : IGPG Monteviale étiquette 1921 ; carapace, face ventrale.

Fig. E et F : IGPG monteviale n°4 ; carapace, face ventrale.

Fig. G et H : IGPG monteviale n°4 ; carapace, face dorsale.

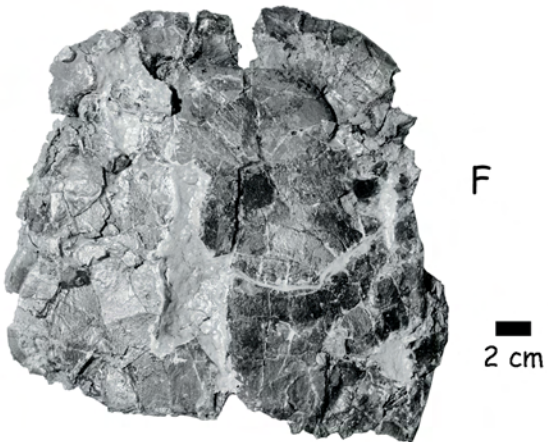
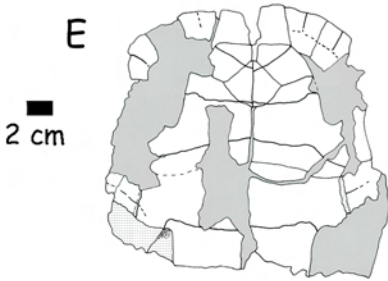
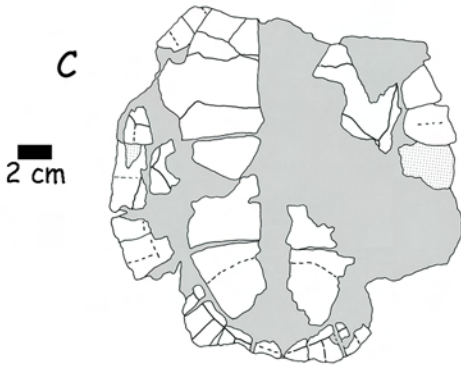
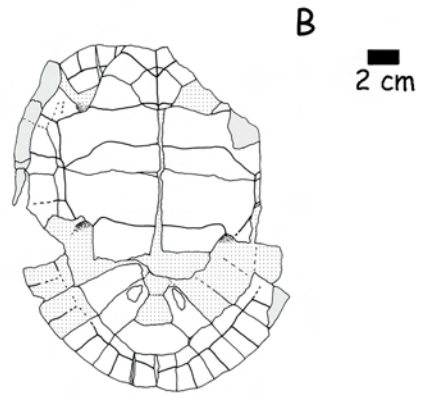
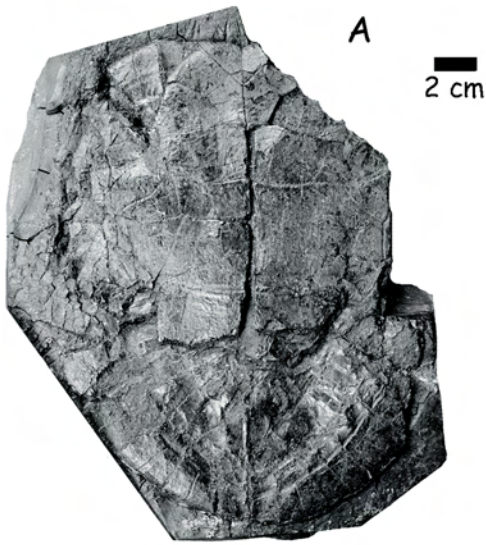


Planche 59

***Bergouniouxchelys vallisnerii* (Bergounioux, 1954) ; Monteviale (Italie) ; Sannoisien.**

Fig. A et C : IGPG Monteviale n°3 ; carapace, face dorsale.

Fig. B et D : IGPG Monteviale n°3 ; carapace, face ventrale.

Fig. E et F : Paratype, IGPG Monteviale n°2 ; carapace, face dorsale (Fig. E d'après Broin, 1977).

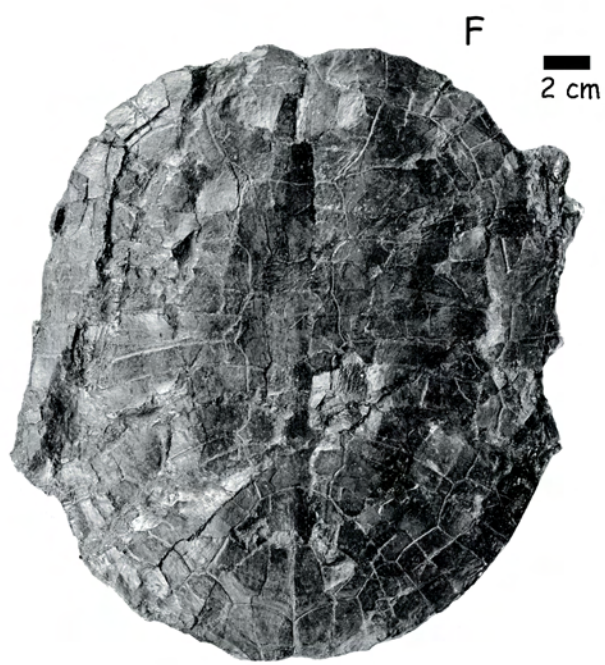
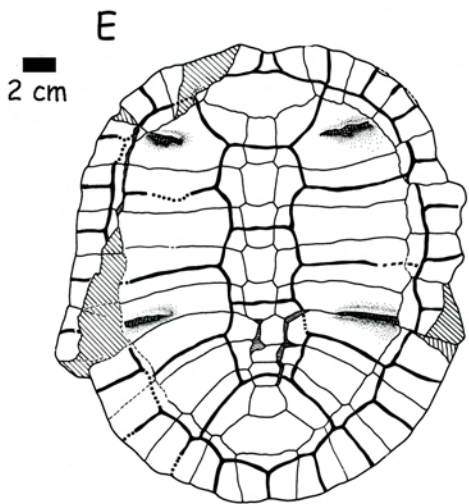
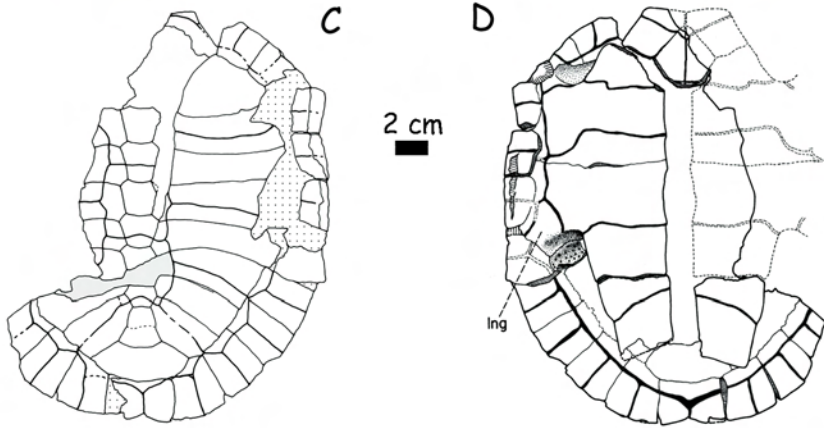
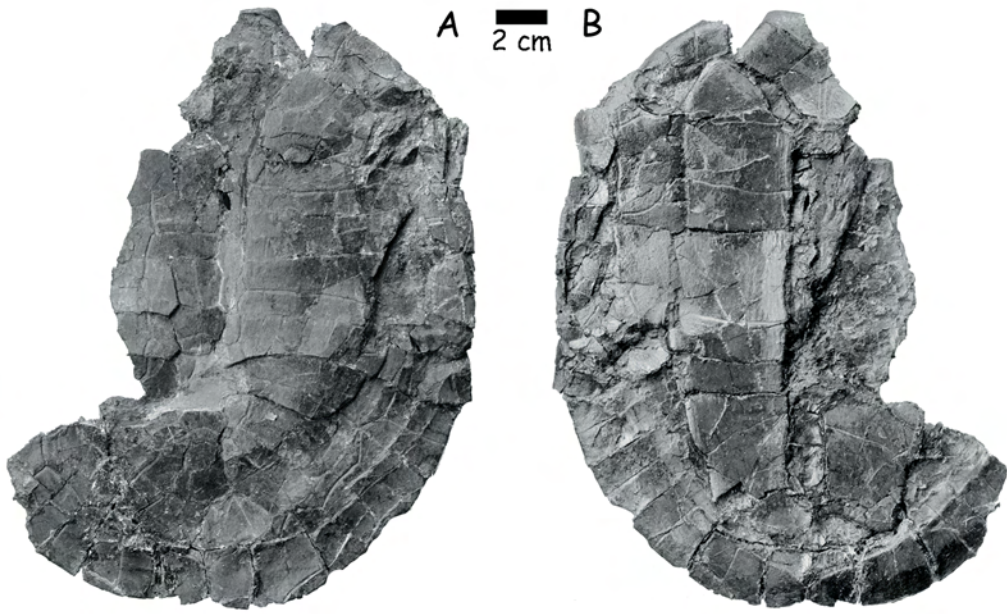


Planche 60

***Cucullemys crocheti* n. g. n. sp. ; Holotype UM2-STL MOL1 ; Molières (Hérault, France) ; fin de l'Oligocène moyen.**

Fig. A : dossière, face dorsale.

Fig. B : dossière, face ventrale.

Fig. C : plastron, face ventrale.

Fig. D : plastron, face dorsale.



A



B

2 cm



C

D



2 cm

Planche 61

***Cucullemys crocheti* n. g. n. sp. ; Holotype UM2-STL MOL1 ; Molières (Hérault, France) ; fin de l'Oligocène moyen.**

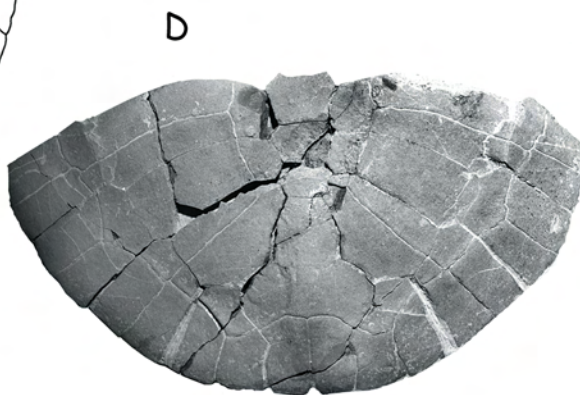
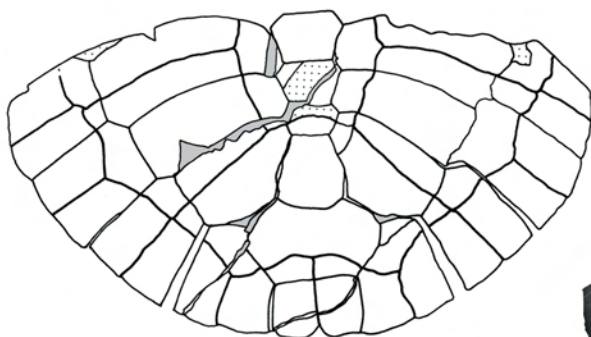
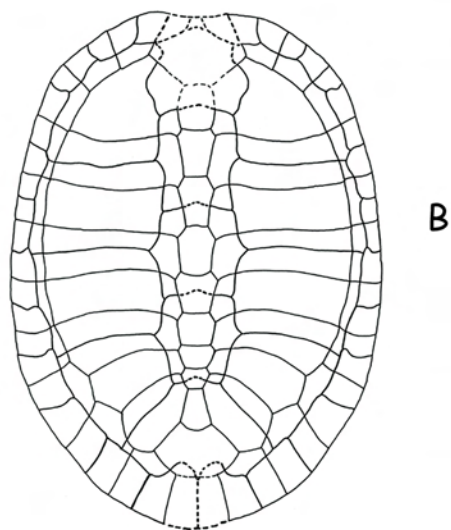
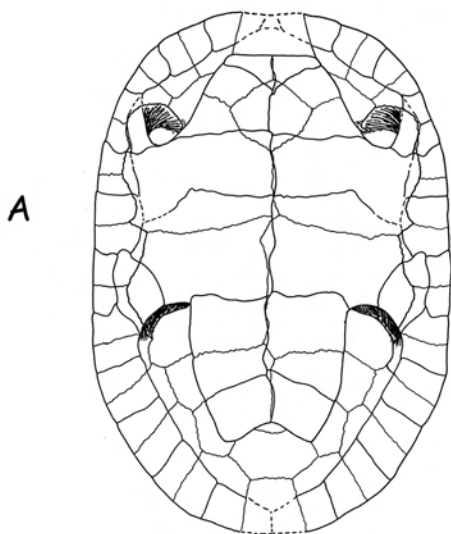
Fig. A : reconstruction de la carapace, face ventrale (d'après Broin *in* Crochet & Welcomme, 1988).

Fig. B : reconstruction de la carapace, face dorsale (d'après Broin *in* Crochet & Welcomme, 1988).

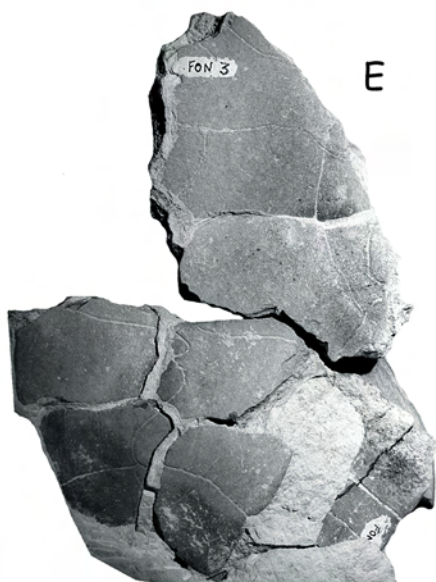
? *Cucullemys* sp. ; Musée d'Apt ; Fontienne (Alpes-de-Haute-Provence, France) ; Oligocène.

Fig. C et D : fragment postérieur de dossière, face dorsale.

Fig. E et F : fragment de plastron, face ventrale.



1 cm



1 cm

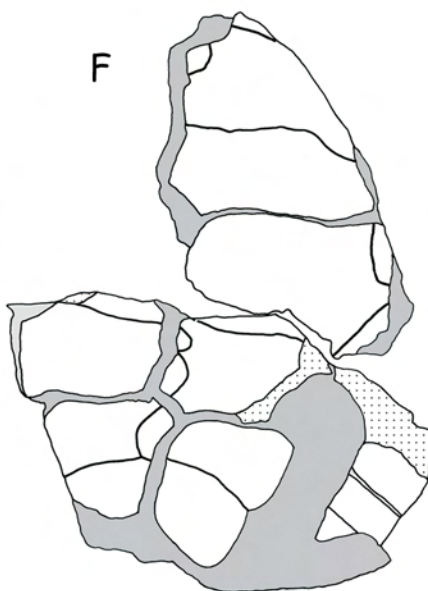


Planche 62

***Provencemys lachati* (Sauvage, 1873) ; Volx-Bois d'Asson (Alpes-de-Haute-Provence, France) ; Oligocène supérieur.**

Fig. A et C : Holotype, MNHN 1873-356F, carapace, face dorsale.

Fig. B et D : Holotype, MNHN 1873-356F, carapace, face ventrale.

Fig. E et F : Volx1 (collection privée), carapace, face dorsale.

Fig. G et H : Volx1 (collection privée), carapace, face ventrale.

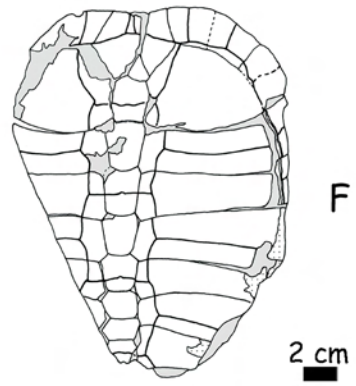
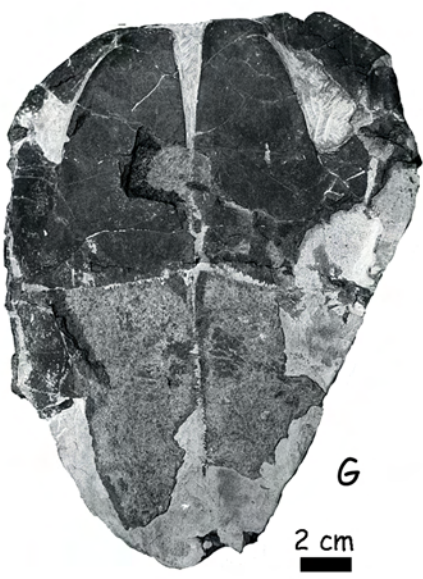
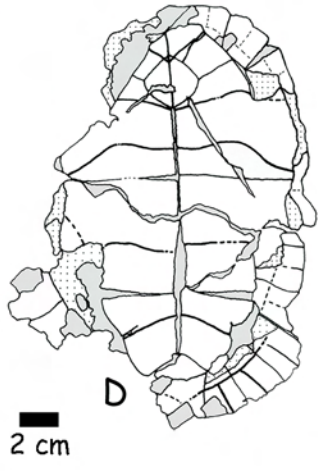
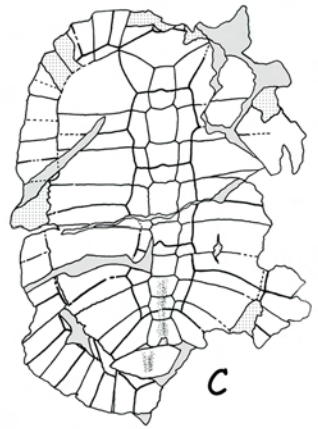
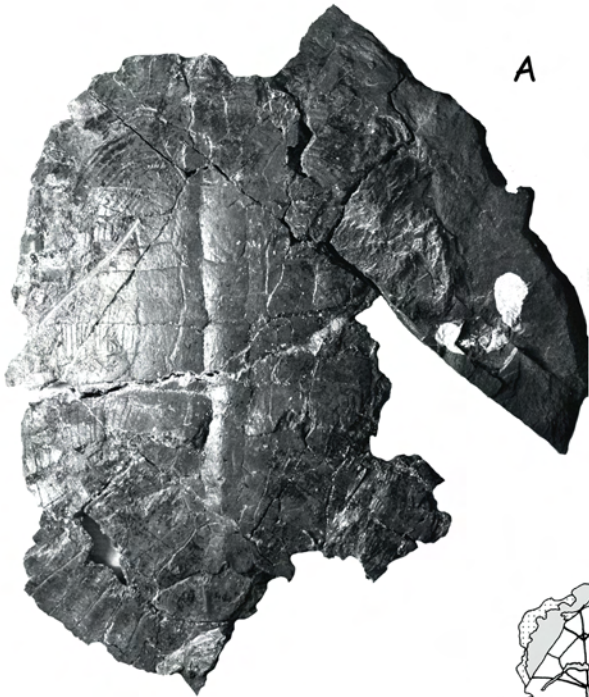


Planche 63

***Provencemys lachati* (Sauvage, 1873) ; MNHN 1982-827 ; Manosque (Alpes-de-Haute-Provence, France) ; Oligocène supérieur.**

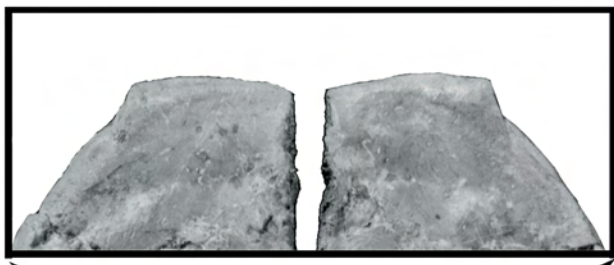
Fig. A : détail du bourrelet gulaire, face dorsale.

Fig. B : plastron, face dorsale.

Fig. C et D : plastron, face ventrale.

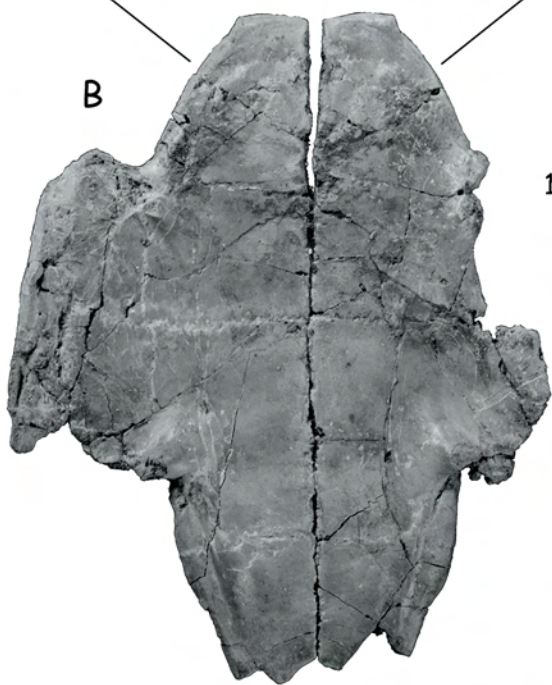
***Provencemys lachati* (Sauvage, 1873) ; Volx2 (collection privée) ; (Alpes-de-Haute-Provence, France) ; Oligocène supérieur.**

Fig. E et F : carapace, face dorsale.



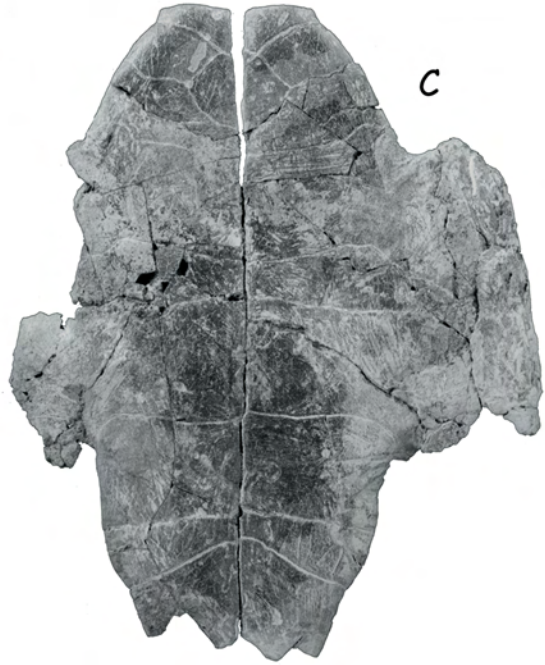
1 cm

A

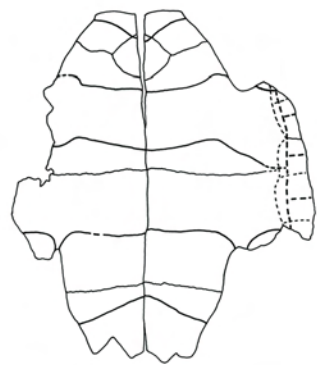


1 cm

B

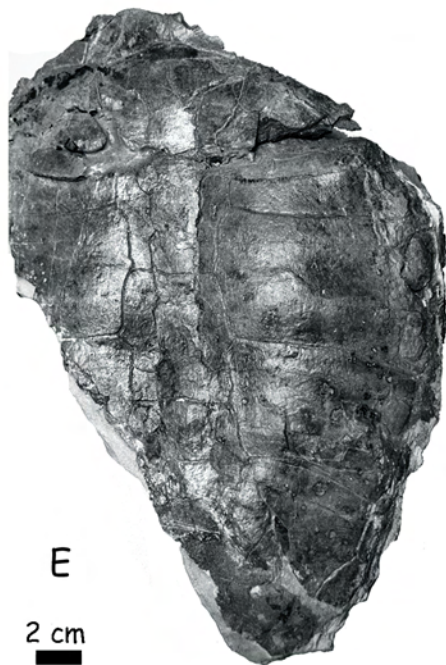


C



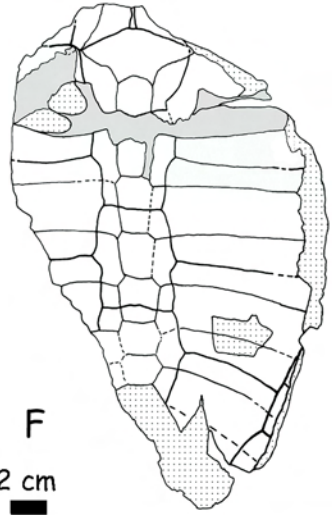
D

2 cm



E

2 cm



F

2 cm

Planche 64

***Provencemys laurenti* (Bergounioux, 1934) ; Marseille (Bouches-du-Rhône, France) ;
Oligocène supérieur.**

Fig. A et B : UCB-L1 92834, carapace, face dorsale.

Fig. C et D : UCB-L1 92834, carapace, face dorsale.

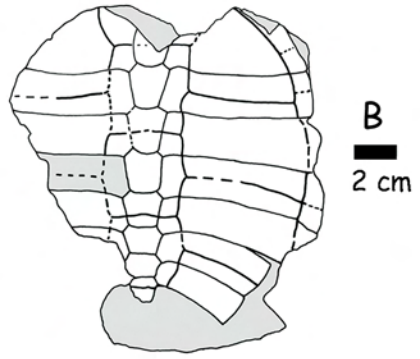
Fig. E : Lectotype MHNM 1982-826, carapace (moule interne et fragments de carapace), face dorsale.

Fig. F : Lectotype MHNM 1982-826, carapace, face ventrale.

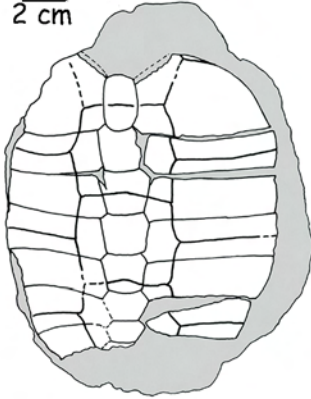
Fig. G et H : Paralectotype UP-AM1, carapace, face dorsale.

Fig. I : Paralectotype UP-AM1, carapace, face ventrale.

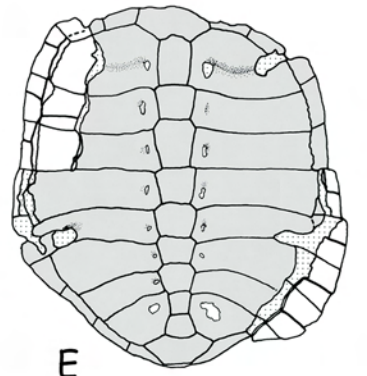
A
1 cm



C
2 cm

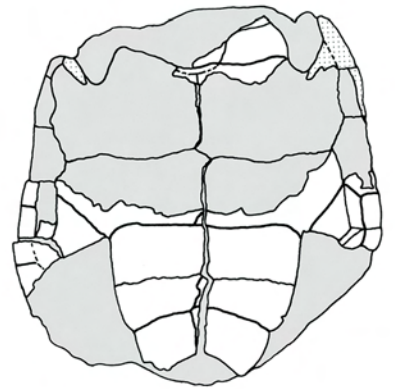


D
1 cm

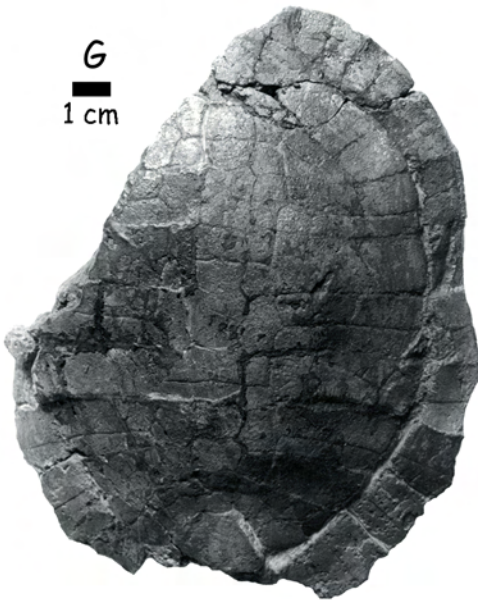


2 cm

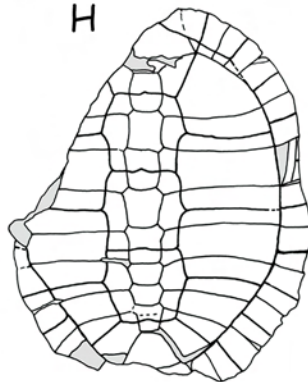
F



G
1 cm



H



2 cm

I

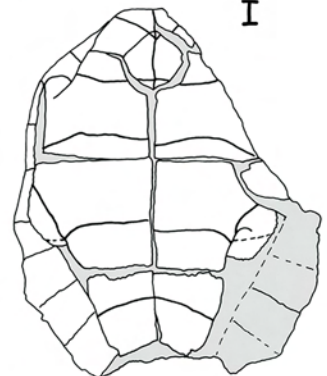


Planche 65

***Provencemys laurenti* (Bergounioux, 1934) ; Marseille (Bouches-du-Rhône, France) ;
Oligocène supérieur.**

Fig. A et B : MNHM 1982-825, dossière, face dorsale.

Fig. C et E : MNHN 6878, carapace, vue ventrale.

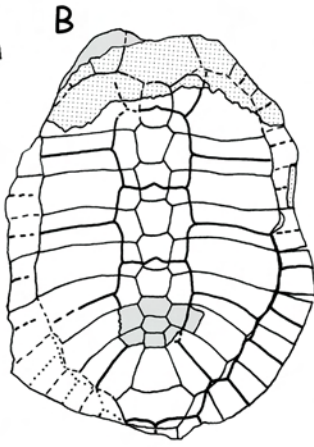
Fig. D et F : MNHN 6878, carapace, vue dorsale.

Fig. G et H : UCB-L1 92450, plastron, face ventrale.

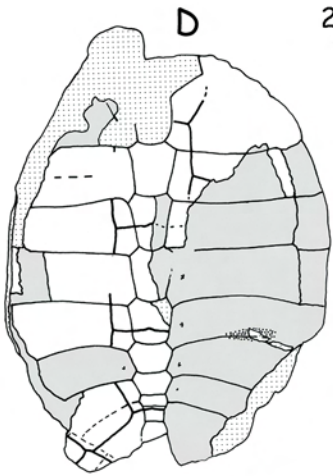
Fig. I : UCB-L1 92450, épiplestron droit, face dorsale.



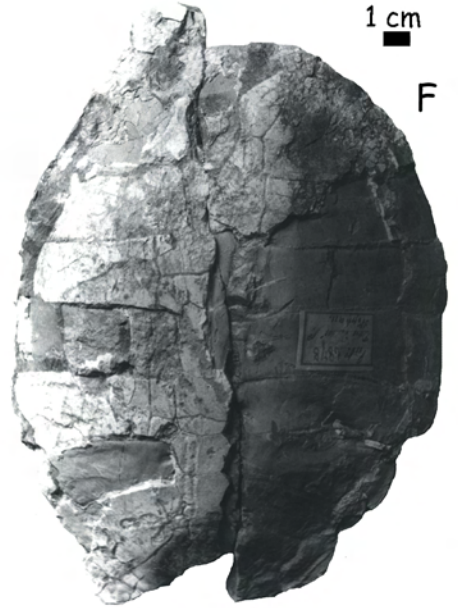
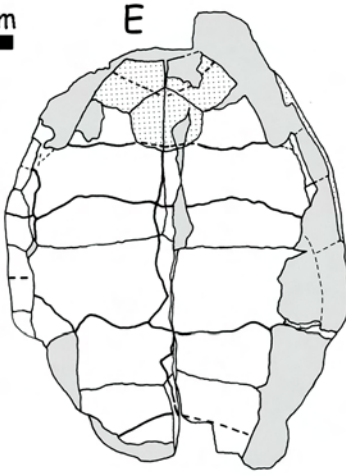
1 cm



1 cm



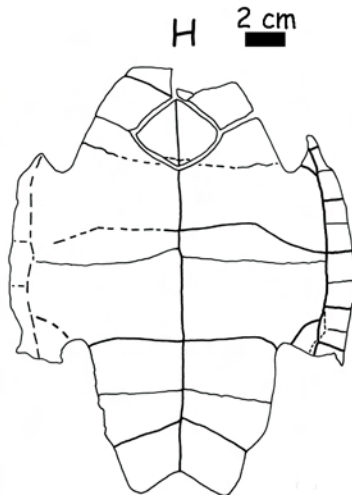
2 cm



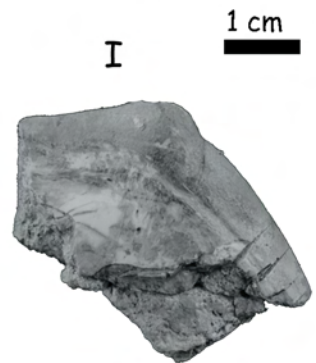
1 cm



2 cm



2 cm



1 cm

Planche 66

***Provencemys laurenti* (Bergounioux, 1934) ; Marseille (Bouches-du-Rhône, France) ; Oligocène supérieur.**

Fig. A : MNHM 2003 Rf 2, fragment de plastron, face ventrale.

Fig. B : MNHM 2003 Rf 2, fragment de plastron, face dorsale.

Fig. C : MNHM 2003 Rf 4 : fragment de pleurales et de périphériques, face dorsale.

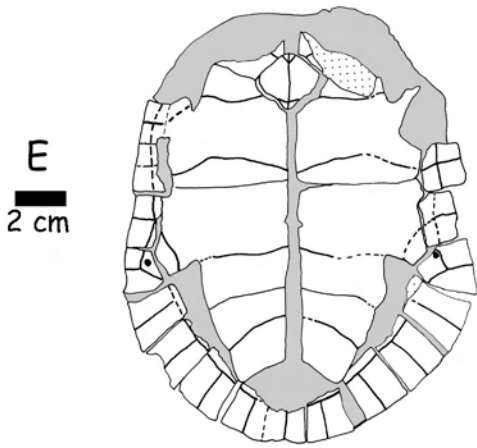
Fig. D : MNHM 2003 Rf 3 : fragment de dossière, face dorsale.

***Provencemys cf. laurenti* (Bergounioux, 1934) ; collection privée ; Pichovet (Alpes-de-Haute-Provence, France) ; Oligocène inférieur.**

Fig. E et F : carapace, face ventrale.



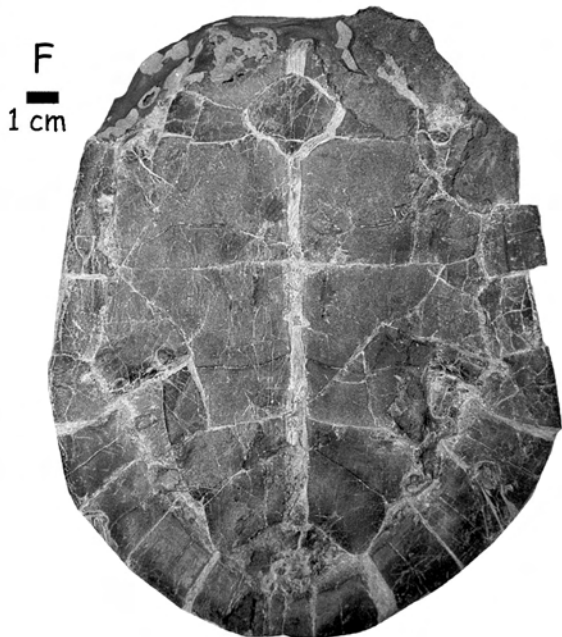
1 cm



2 cm



1 cm



1 cm



1 cm

Planche 67

***Provencemys laurenti* (Bergounioux, 1934) ; Marseille (Bouches-du-Rhône, France) ;
Oligocène supérieur.**

Fig. A : MHNM Rf 1, dossière, face ventrale.

Fig. B : MHNM Rf 1, dossière, face dorsale.

***Provencemys laurenti* (Bergounioux, 1934) ; Cournon (Puy-de-Dôme, France) ;
Oligocène supérieur.**

Fig. C : MNHN COR1, plastron, face ventrale.

Fig. D : MNHN COR1, plastron, face dorsale.

Fig. E : MNHN COR2, nucale, face dorsale.

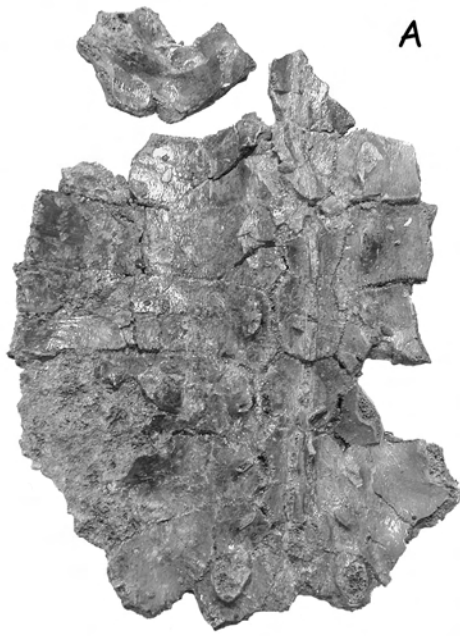
***Provencemys laurenti* (Bergounioux, 1934) ; Itardies (Tarn-et-Garonne, France) ;
Oligocène inférieur.**

Fig. F : USM2-STD ITD 1215, hypoplastron droit, face dorsale.

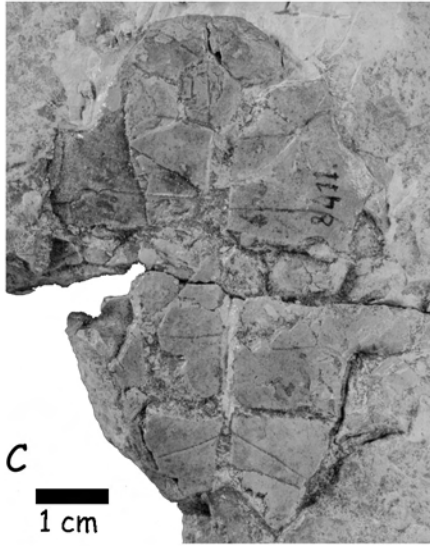
Fig. G : USM2-STD ITD 1215, hypoplastron droit, face ventrale.

Fig. H : USM2-STD ITD 1216, lobe antérieur, face dorsale.

Fig. I : USM2-STD ITD 1216, lobe antérieur, face ventrale.

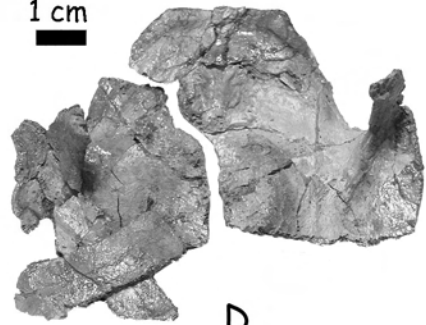


2 cm



1 cm

1 cm

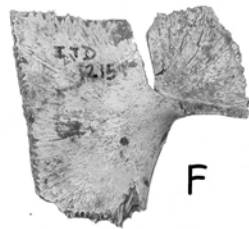


D



E

1 cm



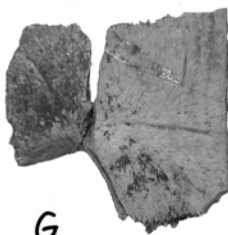
F



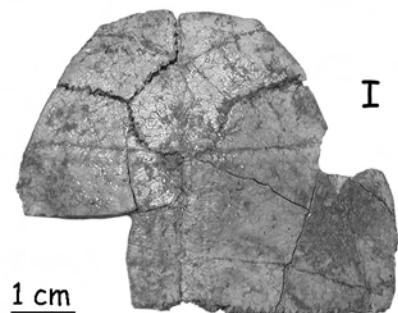
H

1216

1 cm



G



I

1 cm

Planche 68

Matériel de Haslach bei Ulm (Allemagne), Miocène inférieur, collection Eser, MCZ (Etats-Unis).

Fig. A : MCZ 9416, *Chelydropsis* sp. groupe *sancti-henrici*, dossière, face ventrale = *Palaeochelys costula* H.v. Meyer, 1851, p. 77, *nomen nudum*.

Fig. B et C : MCZ 9413, Testudinidae aquatique indéterminé, fragment de dossière, face ventrale = « *Palaeochelys* sp. » *in coll.*

Fig. D et E : MCZ 9411, Testudinidae aquatique indéterminé, *Paleochelys bussenensis* vel *Mauremys* sp., fragment de dossière et de plastron, face ventrale = *Palaeochelys haslachensis* H.v. Meyer, 1851, p. 77, *nomen nudum*.

Fig. F et G : MCZ 9412, Testudinidae aquatique indéterminé, fragment de dossière et de plastron, face dorsale = « *Palaeochelys* sp. » *in coll.*

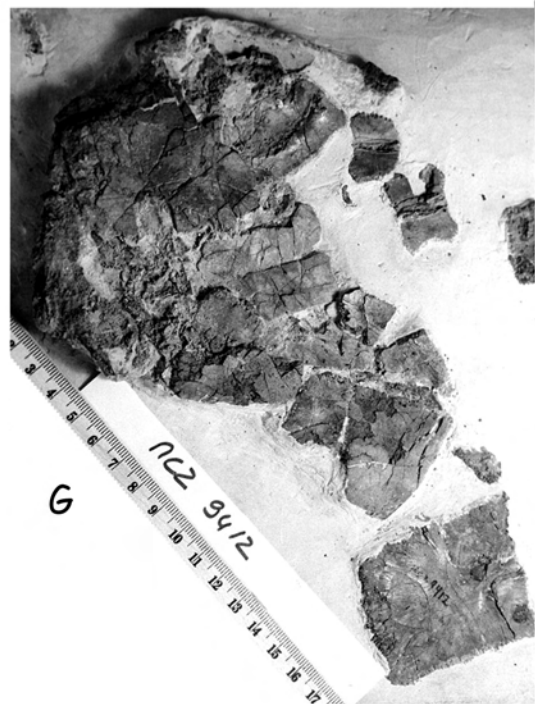
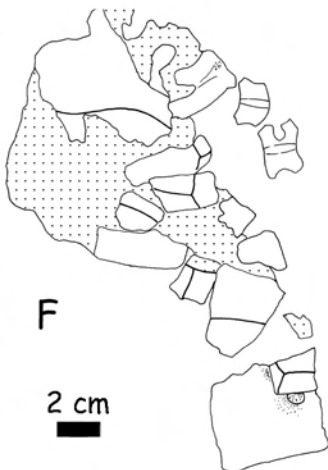
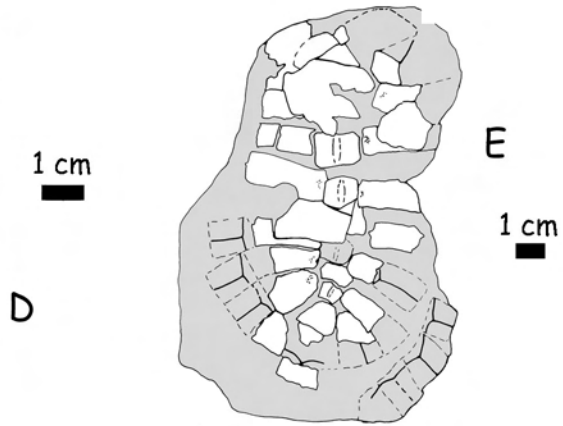
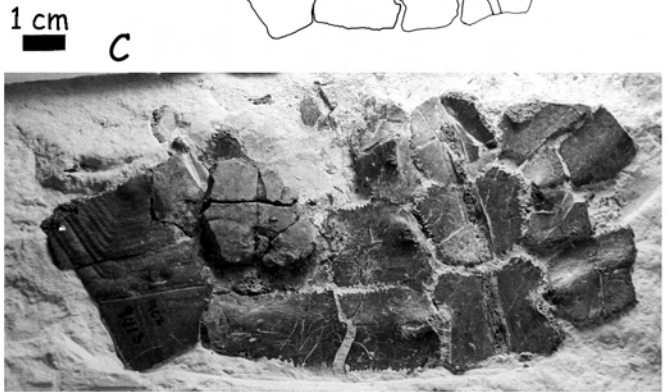
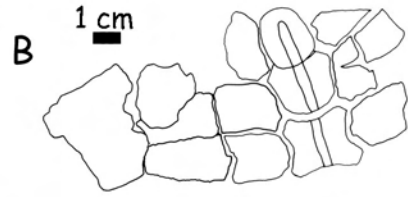
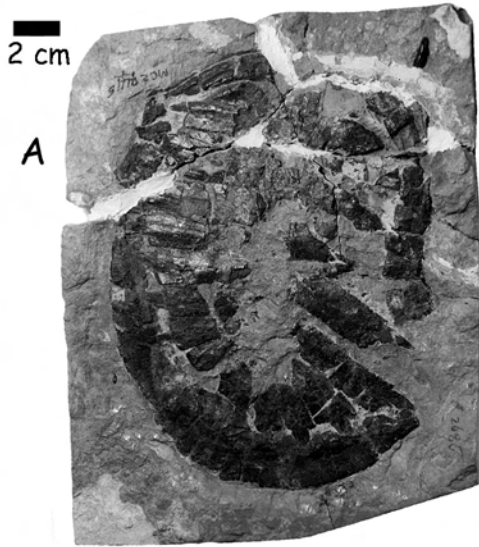


Planche 69

***Palaeochelys* Meyer, 1847.**

Fig. A : *Palaeochelys bussenensis* Meyer 1847, Holotype, BMNH R1012, Bussen bei Ulm (Allemagne), Miocène, dossière, face dorsale.

Fig. B et C : *Palaeochelys astrei* (Bergounioux, 1935), Holotype, Armissan (Aude, France), MNHT, dossière, face dorsale (fig. B, d'après Broin, 1977).

***Promalacoclemmys protogaea* (Meyer, 1852) n. comb. ; Haslach bei Ulm (Allemagne) ; Miocène.**

Fig. D et E : Syntype, MCZ 9414, fragment postérieur de plastron, face ventrale.

Fig. F et G : Syntype, MCZ 9414, fragment postérieur de dossière, face dorsale.

Fig. H et I : Syntype, MCZ 9414, empreinte de la face dorsale du fragment postérieur de dossière.

Fig. J et K : Syntype, MCZ 9415, fragment latéral de carapace, face dorsale.

Fig. L : Syntype, MCZ 9415, fragment latéral de carapace, face ventrale.

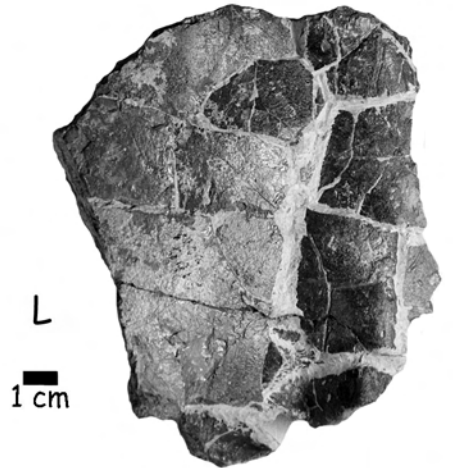
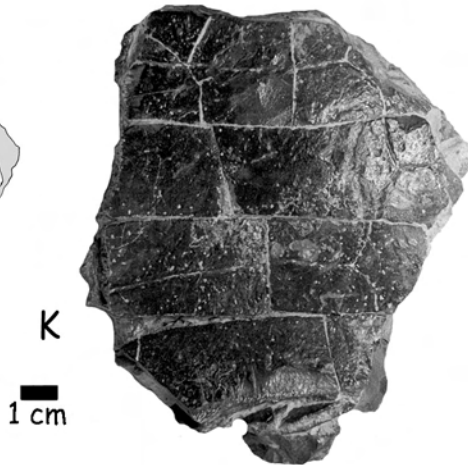
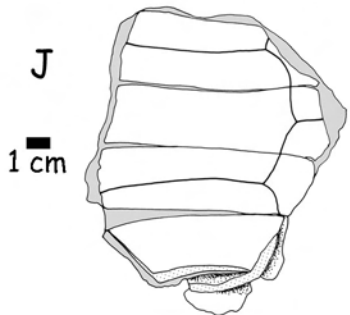
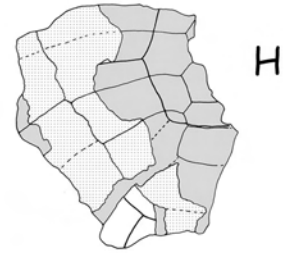
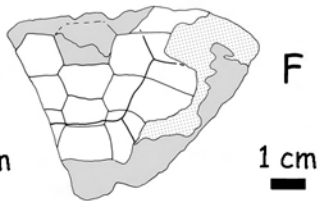
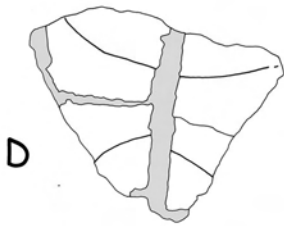
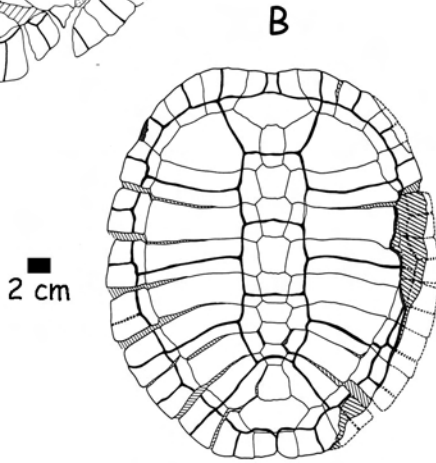
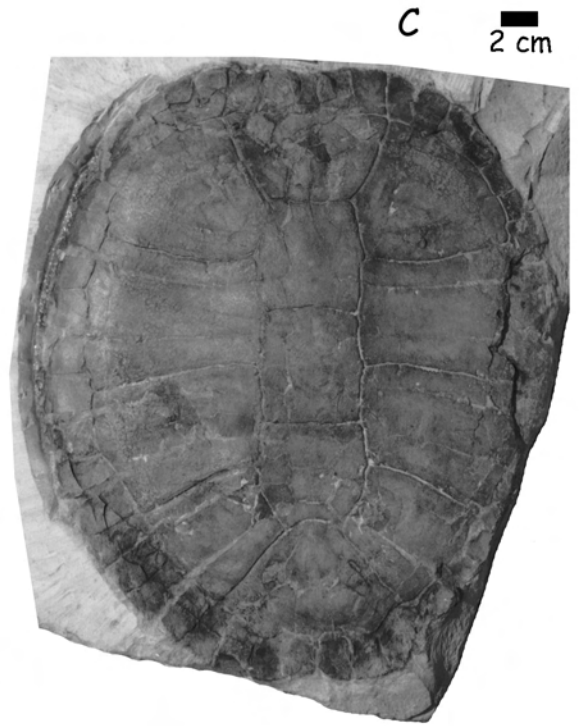
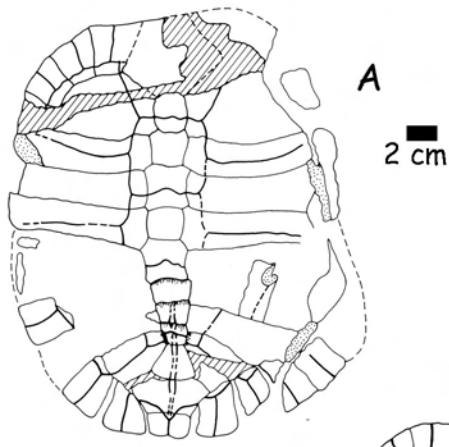


Planche 70

Promalacoclemmys protogaea (Meyer, 1852) n. comb. ; SMNS 8504 ; Haslach bei Ulm (Allemagne) ; Miocène.

Fig. A et B : carapace, face dorsale.

Fig. C et D : carapace, face ventrale.

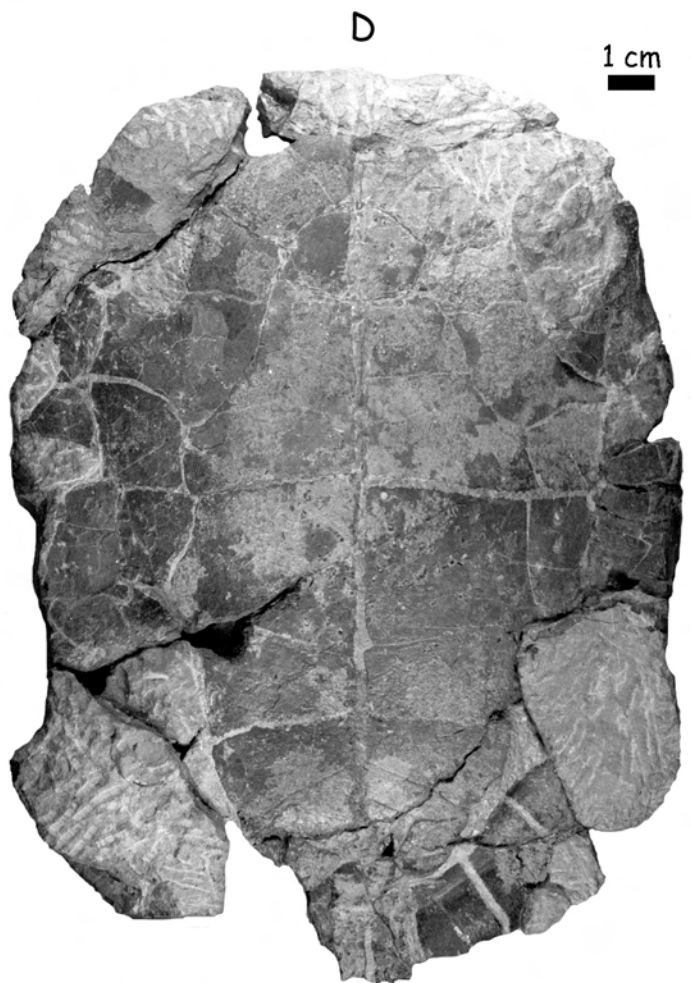
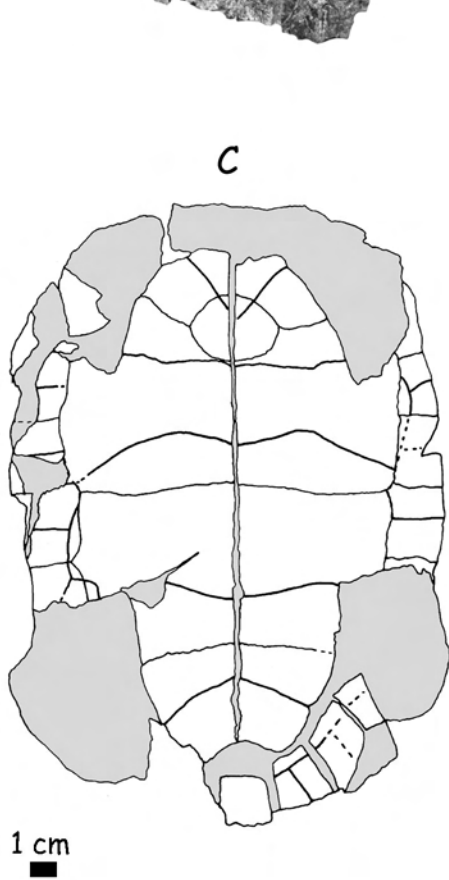
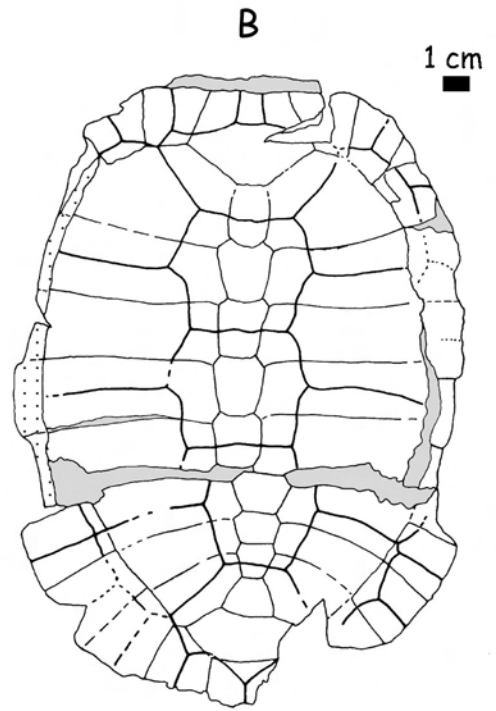


Planche 71

***Promalacoclemmys protogaea* (Meyer, 1852) n. comb. ; Haslach bei Ulm (Allemagne) ; Miocène.**

Fig. A : dessin du spécimen figuré par Reinach (1900, Pl. XXXII), carapace, face dorsale, spécimen détruit.

Fig. B : dessin du spécimen figuré par Reinach (1900, Pl. XXXIII), carapace, face ventrale, spécimen détruit.

Fig. C : dessin du spécimen figuré par Reinach (1900, Pl. XXXV), carapace, face dorsale, spécimen détruit.

Fig. D : dessin du spécimen figuré par Reinach (1900, Pl. XXXIV), carapace, face ventrale, spécimen détruit.

Fig. L : SMNS 87480, carapace, face dorsale.

Fig. M : SMNS 87480, carapace, face ventrale.

***Promalacoclemmys protogaea* (Meyer, 1852) n. comb. ; Hessler bei Wiesbaden (Allemagne) ; Miocène.**

Fig. E : SMNS 4802a, fragment antérieur de plastron, face dorsale.

Fig. F et G : SMNS 4802a, fragment antérieur de plastron, face ventrale.

Fig. H et I : SMF-R110, deux épiplestrons, face dorsale.

Fig. J : SMF-4791, épiplestron, face dorsale.

Fig. K : SMF-4791, épiplestron, face ventrale.

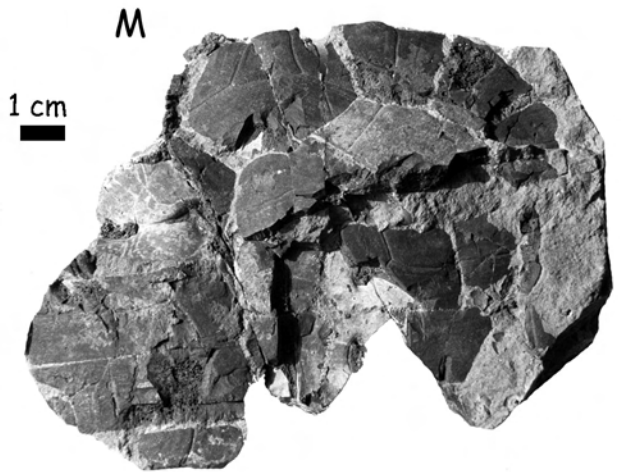
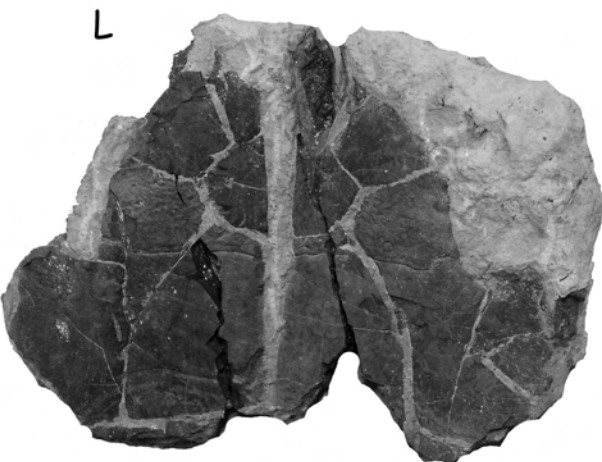
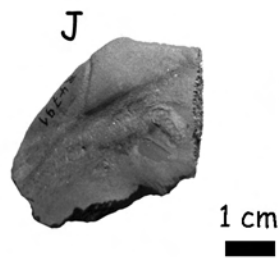
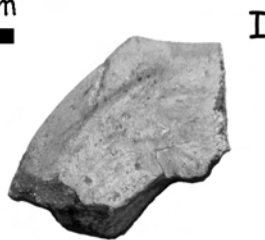
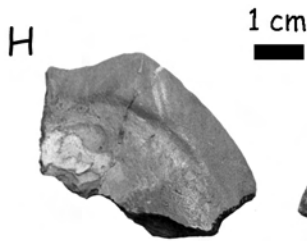
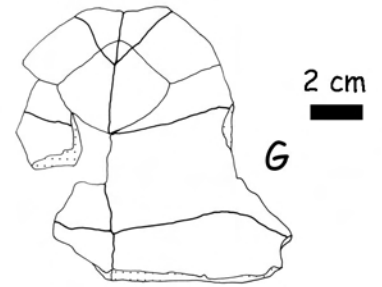
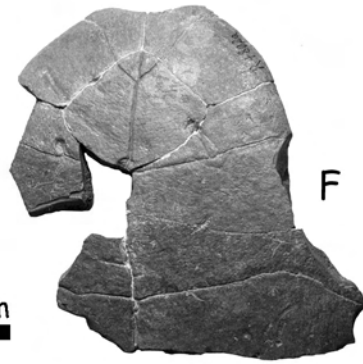
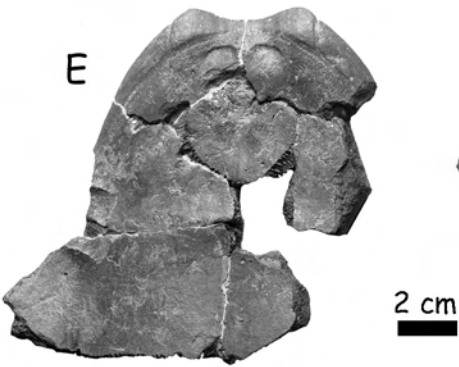
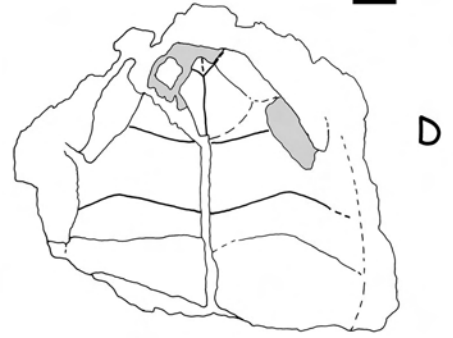
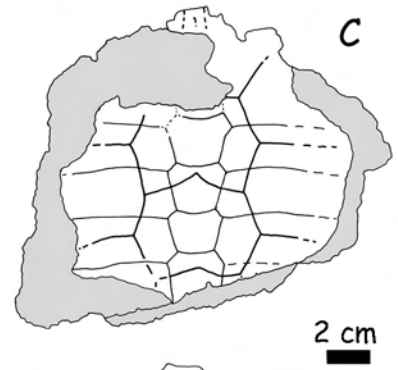
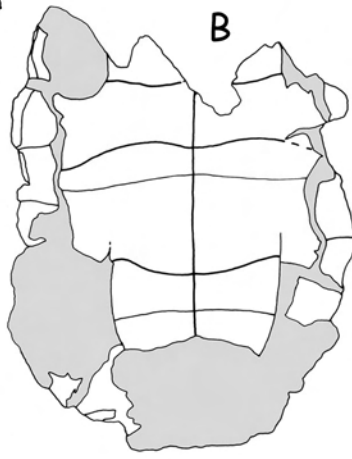
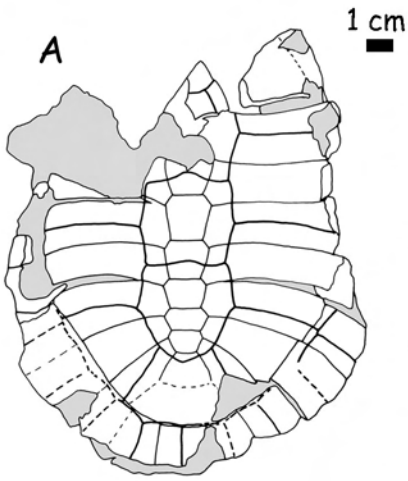


Planche 72

***Promalacoclemmys protogaea* (Meyer, 1852) n. comb. ; Haslach bei Ulm (Allemagne) ; Miocène.**

Fig. A et B : SMNS 87481, fragment antérieur de carapace, face ventrale.

Fig. C et D : SMNS 87481, fragment antérieur de carapace, face dorsale.

Fig. E et F : SMNS 8635, fragment antérieur de carapace, face dorsale.

Fig. G : SMNS 8635, fragment antérieur de carapace, face ventrale.

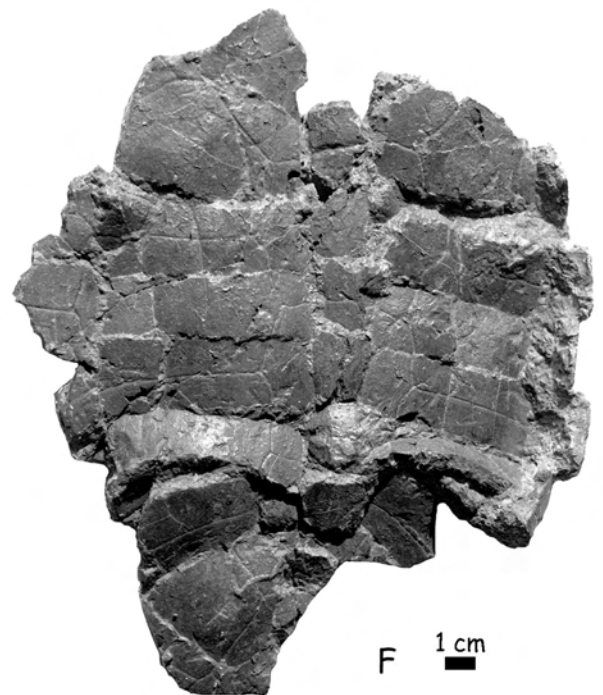
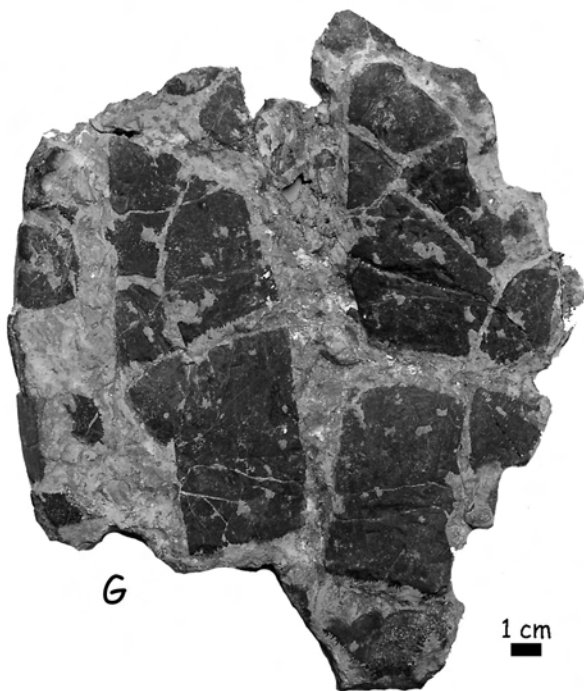
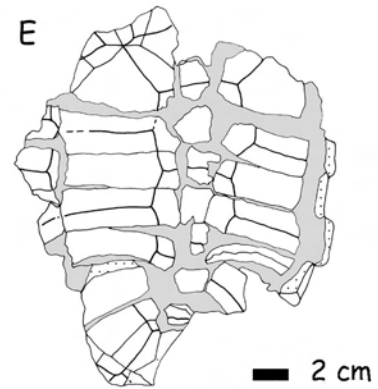
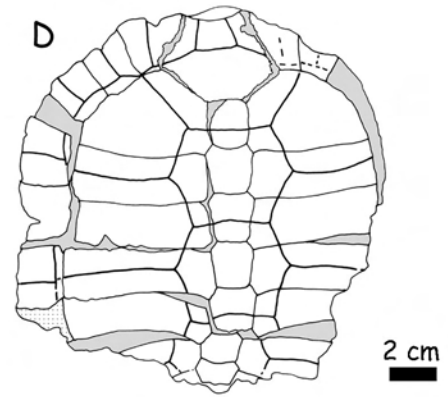
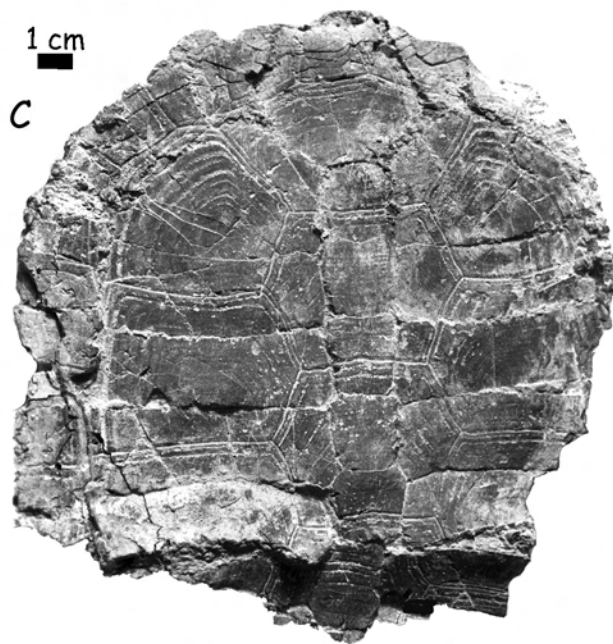
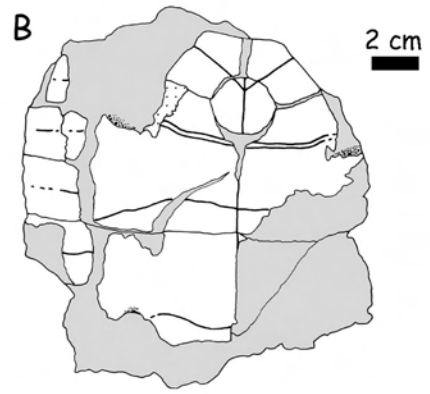
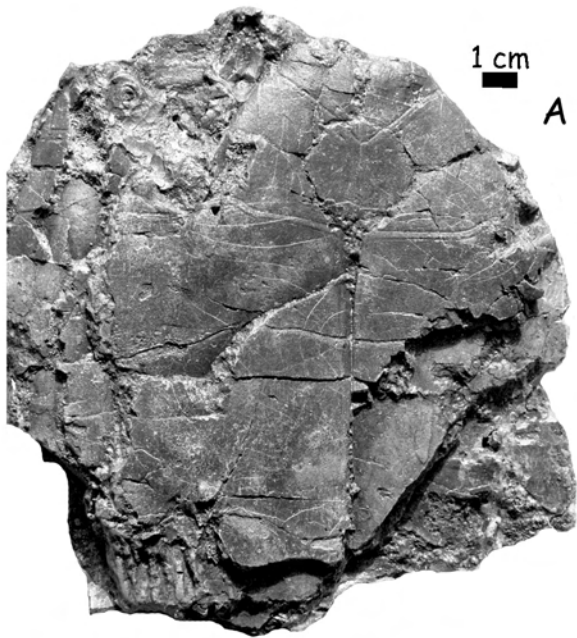


Planche 73

***Promalacoclemmys laharpi* (Pictet & Humbert, 1856) n. comb. ; Rochette (Lausanne, Suisse) ; Oligocène supérieur.**

Fig. A : MGL 8904, carapace, face dorsale.

Fig. B : MGL 8904, carapace, face ventrale.

Fig. C : Holotype MGL 8908, carapace, face dorsale.

Fig. D : Holotype MGL 8908, carapace, face ventrale.

Fig. E : MGL 79036, xiphiplastron droit, face dorsale.

Fig. F : MGL 79047, épiplestron gauche, face dorsale.

Fig. G : MGL 8912, carapace, face ventrale.

Fig. H : MGL 8912, carapace, face dorsale.

Fig. I : MGL 79046, épiplestron et entoplastron, face ventrale.

Fig. J : MGL 79046, épiplestron et entoplastron, face dorsale.

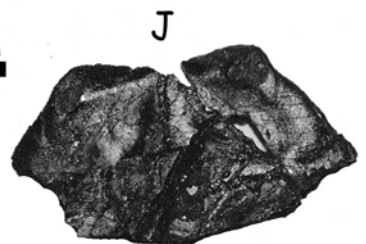
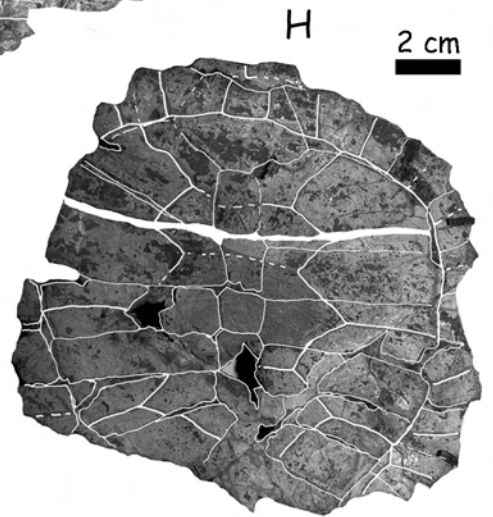
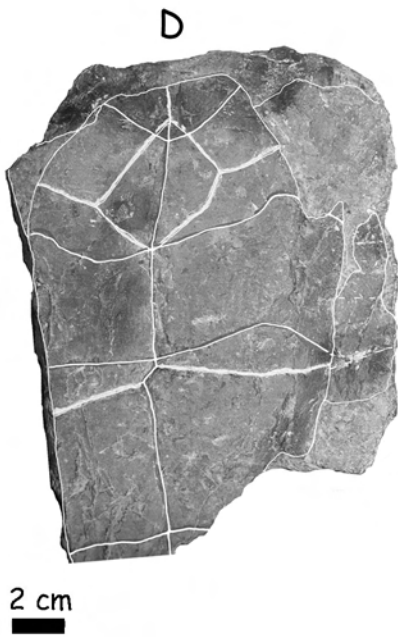
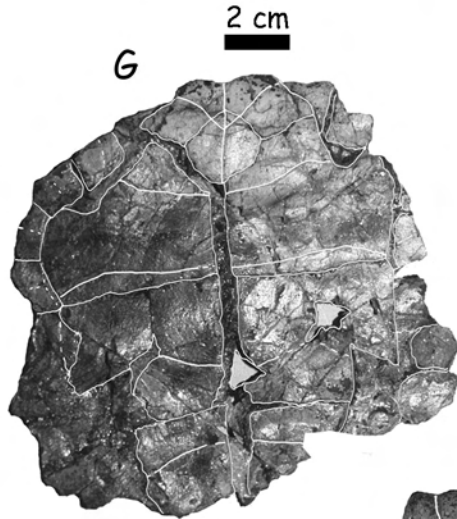
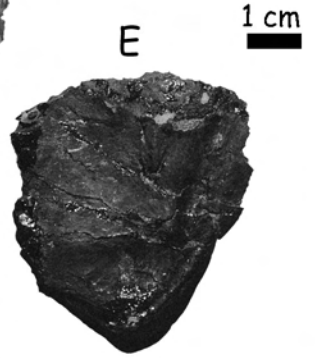
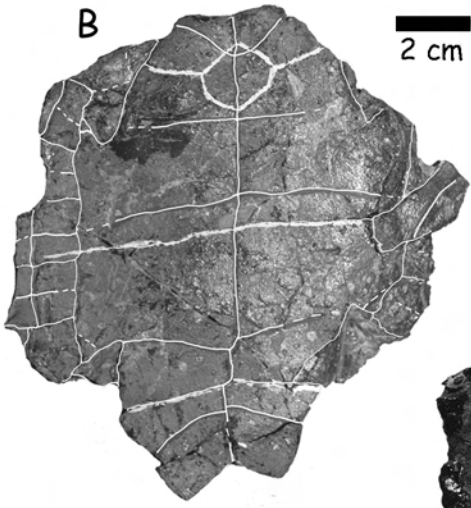
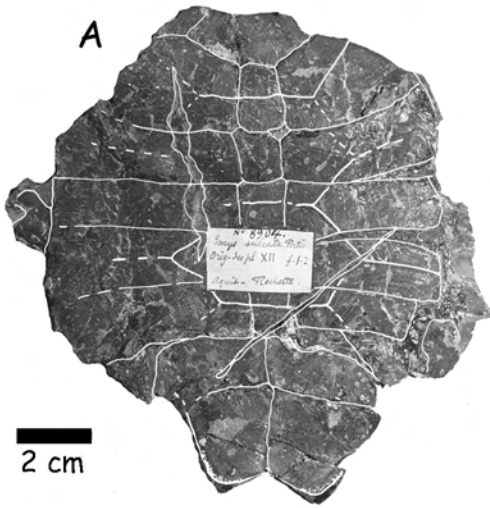


Planche 74

***Promalacoclemmys laharpi* (Pictet & Humbert, 1856) n. comb. ; Rochette (Lausanne, Suisse) ; Oligocène supérieur.**

Fig. A : MGL 79021, lobe antérieur, face ventrale

Fig. B : MGL 79021, lobe antérieur, face dorsale.

Fig. C : MGL 79034, fragment postérieur de carapace, face dorsale.

Fig. D : MGL 79034, fragment postérieur de carapace, face ventrale.

Fig. E : MGL 8892, carapace, face dorsale.

Fig. F : MGL 8892, carapace, face ventrale.

Fig. G : MGL 8893, carapace, face dorsale.

Fig. H : MGL 8893, carapace, face ventrale.

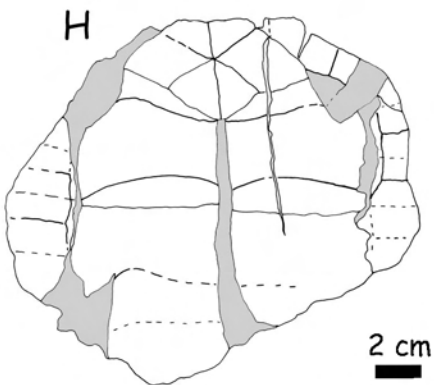
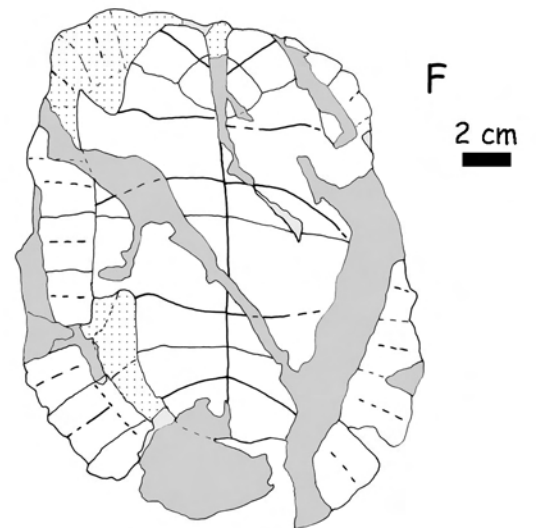
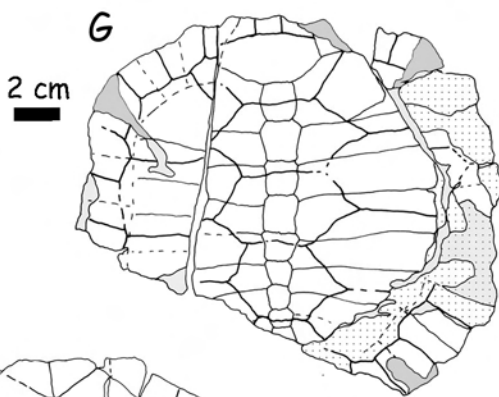
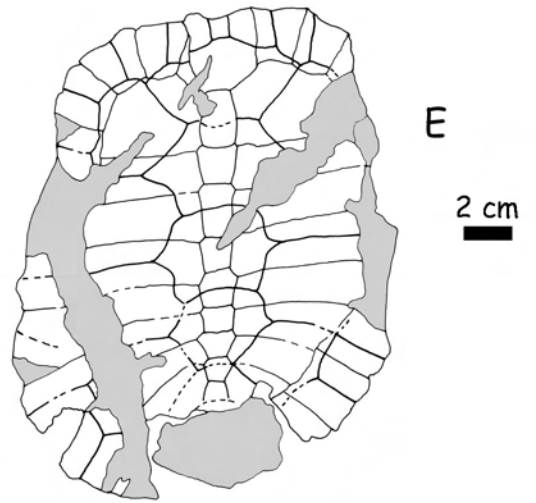
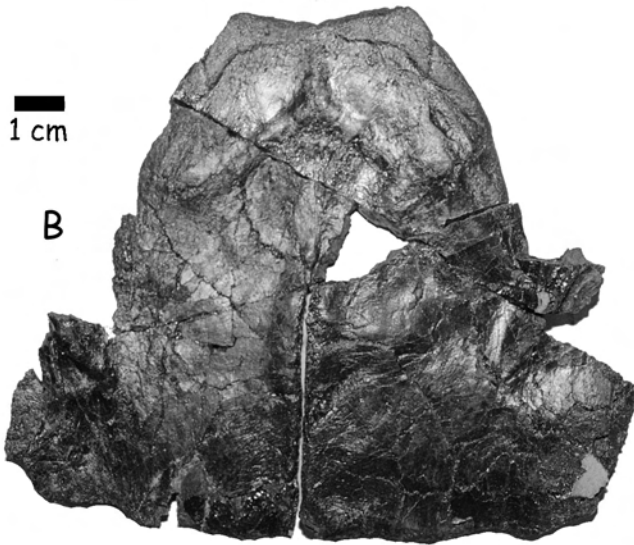
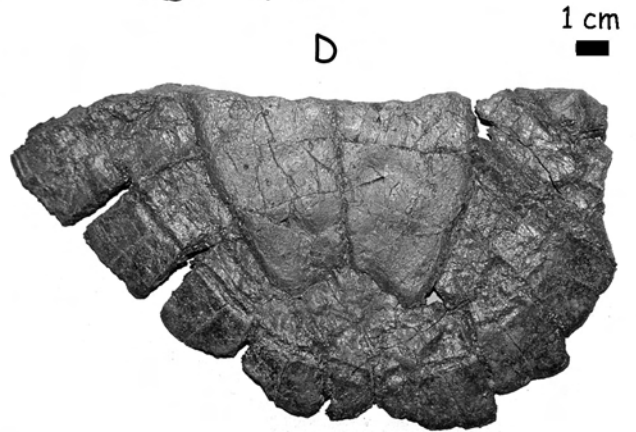
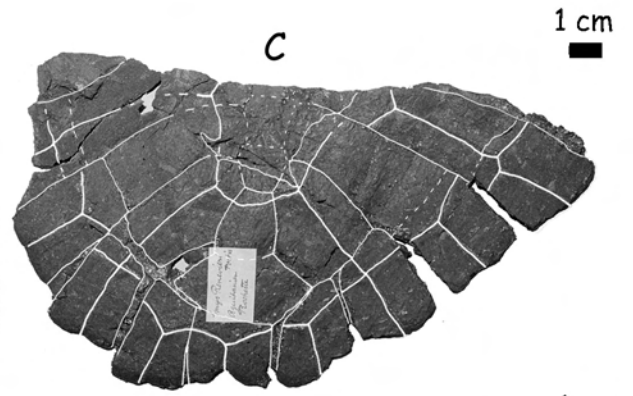
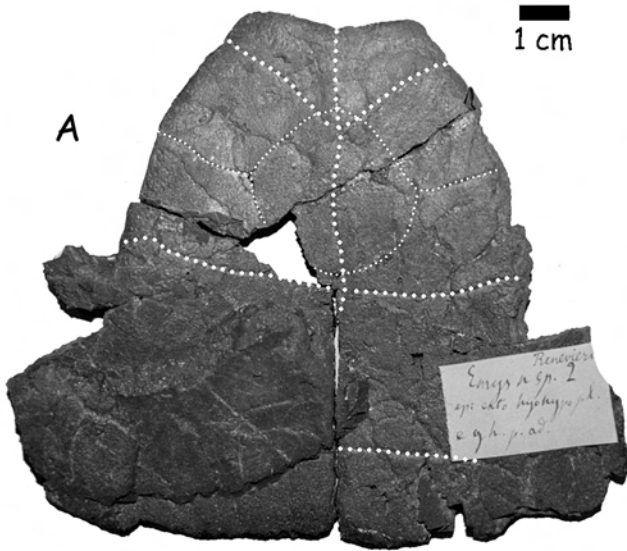


Planche 75

***Promalacoclemmys laharpi* (Pictet & Humbert, 1856) n. comb. ; Rochette (Lausanne, Suisse) ; Oligocène supérieur.**

Fig. A et B : MGL 79003, carapace, face dorsale.

Fig. C : MGL 79008, carapace, face dorsale.

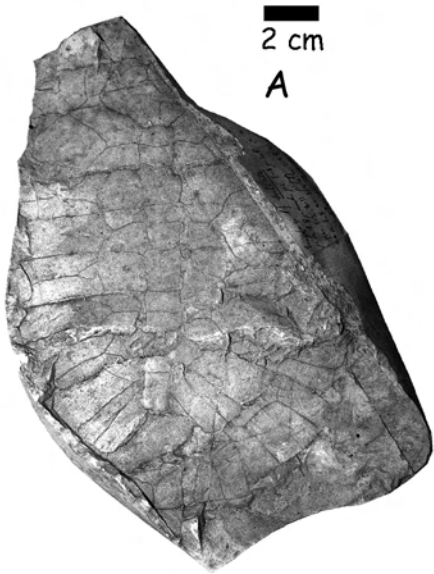
Fig. D : MGL 79008, carapace, face ventrale.

Fig. E : MGL 79007, carapace, face dorsale.

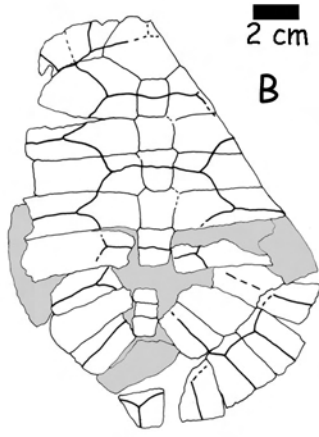
Fig. F : MGL 79007, carapace, face ventrale.

Fig. G : MGL 79012, carapace, face dorsale.

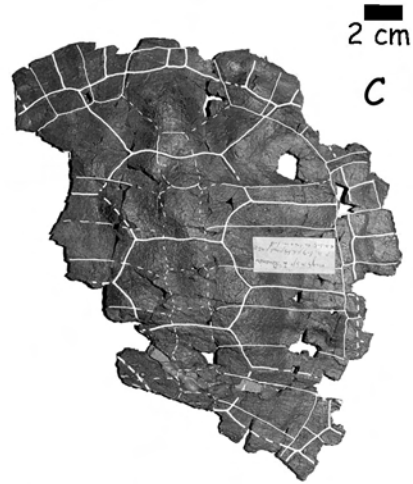
Fig. H : MGL 79012, carapace, face ventrale.



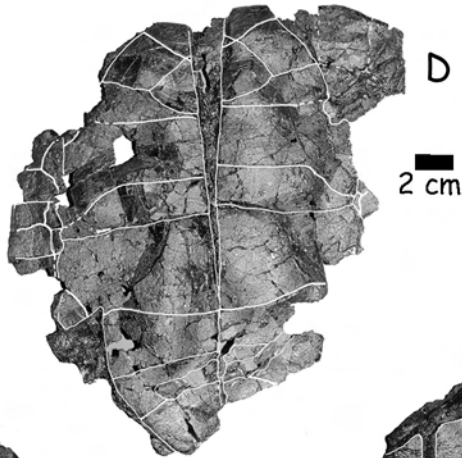
2 cm
A



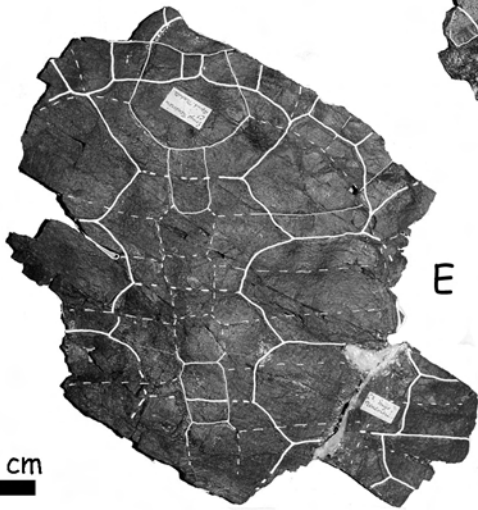
2 cm
B



2 cm
C

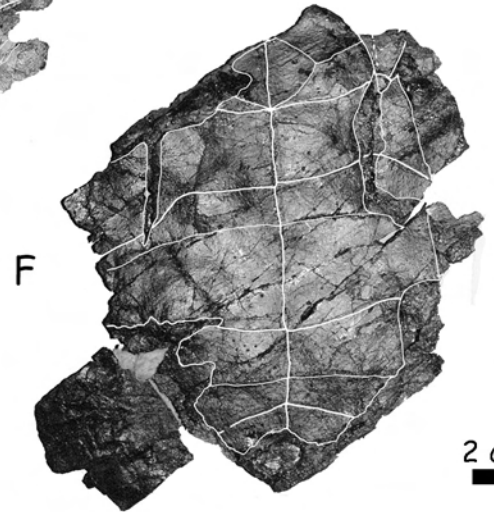


D
2 cm



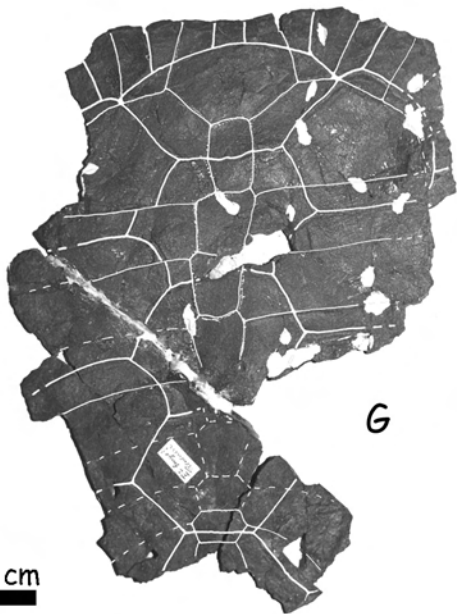
2 cm

E



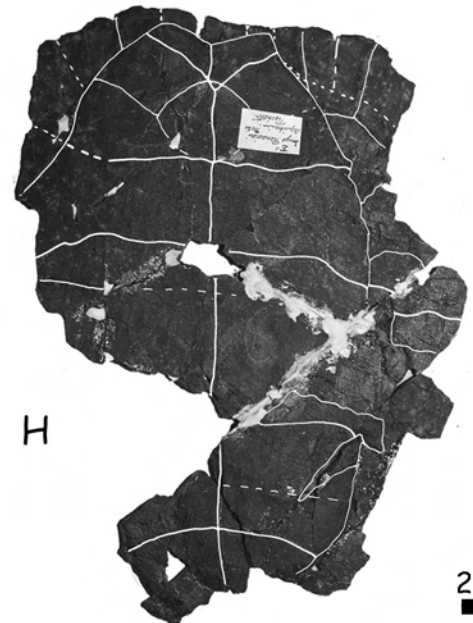
2 cm

F



2 cm

G



2 cm

H

Planche 76

***Palaeomauremys mlynarskii* (Hervet et Lapparent de Broin, 2000) ; Holotype GPIPo de Broin N2-1, Coll. Institut für Paläontologie der Universität (Bonn, Allemagne) ; Rott (environs de Bonn, Allemagne) ; Oligocène supérieur.**

Fig. A et B : empreinte de la face dorsale de la dossière (d'après Hervet et Lapparent de Broin, 2000).

Fig. C : fragment de la dossière, face ventrale (d'après Hervet et Lapparent de Broin, 2000).

Fig. D : fragment de la dossière, face dorsale (d'après Hervet et Lapparent de Broin, 2000).

***Palaeomauremys « tuberculata »* (Portis, 1882) ; Holotype MGL 8901 ; Rochette (Lausanne, Suisse) ; Oligocène supérieur.**

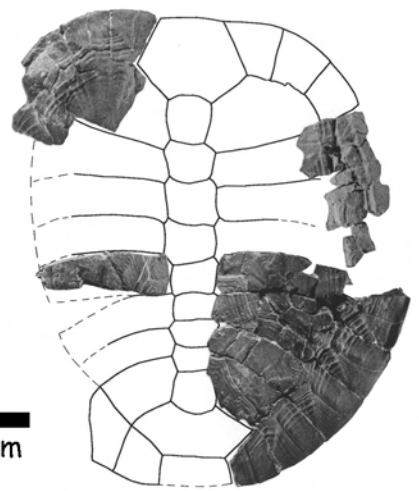
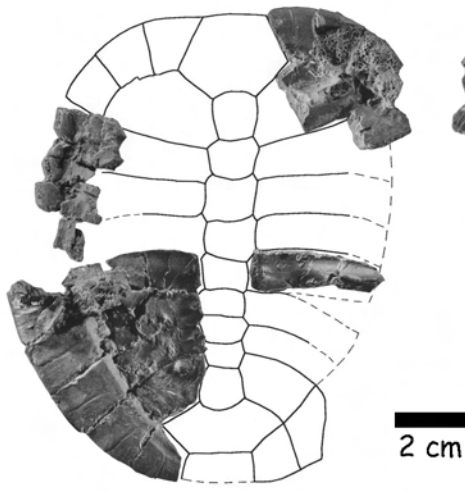
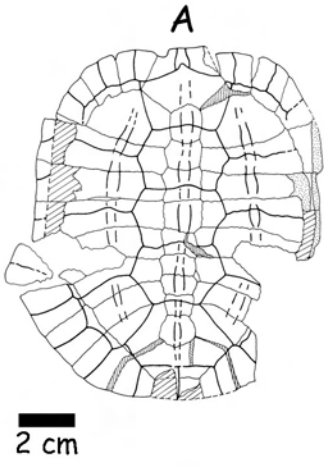
Fig. E et F : dossière, face dorsale.

Fig. G : nucale, face ventrale.

Fig. H : PL1 droite, face ventrale.

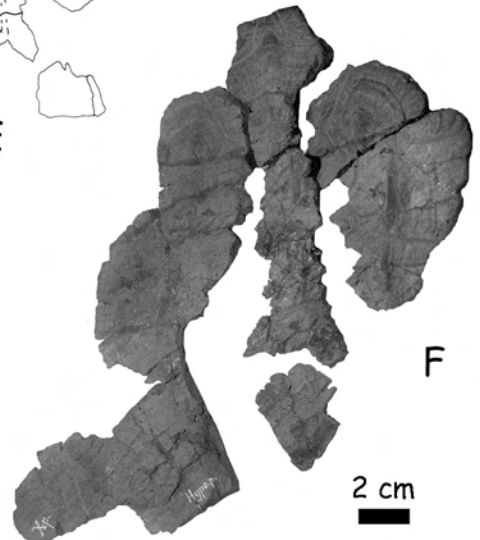
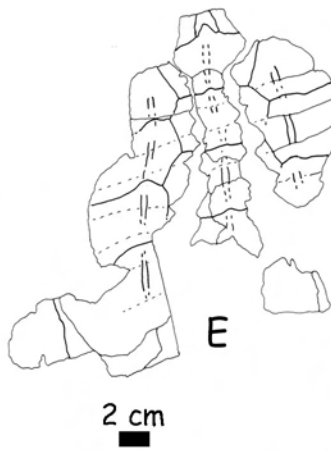
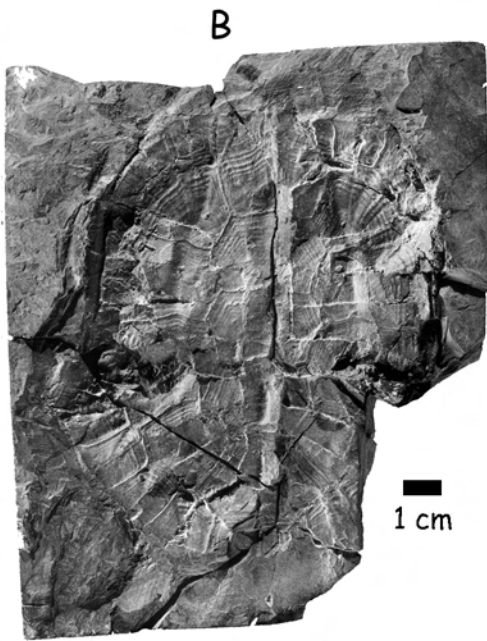
***Palaeomauremys « tuberculata »* vel *Mauremys massiliensis* ; MGL 79001 ; Rochette (Lausanne, Suisse) ; Oligocène supérieur.**

Fig. I et J : partie postérieure de dossière, face dorsale.



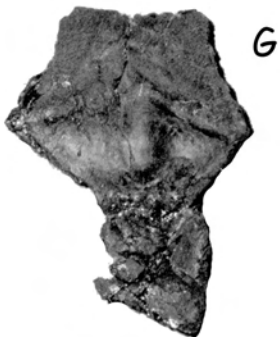
C

D

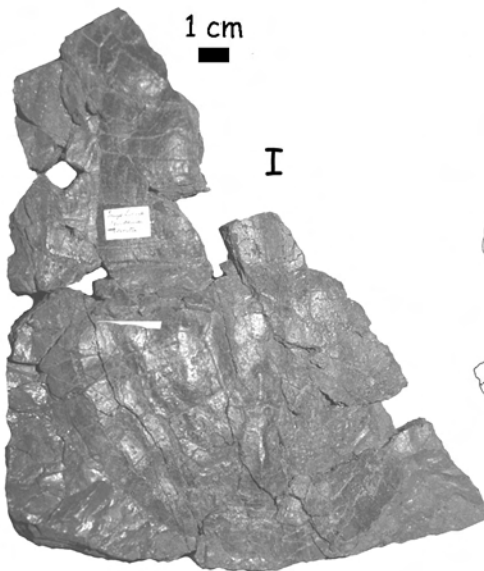


F

1 cm



1 cm



1 cm

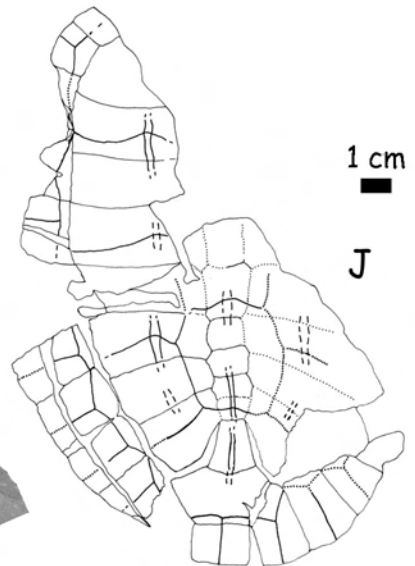


Planche 77

***Mauremys massiliensis* (Bergounioux, 1936) ; Marseille, Saint-Henri (Bouches-du-Rhône, France) ; Oligocène supérieur.**

Fig. A : Holotype UCB-L1 92838, dossière, face dorsale.

Fig. B : Holotype UCB-L1 92838, plastron, face ventrale.

Fig. C : Holotype UCB-L1 92838, plastron, face dorsale.

Fig. D : UCB-L1 90305+90306, fragment antérieur de plastron, face ventrale.

Fig. E : UCB-L1 90305+90306, fragment antérieur de plastron, face dorsale.

Fig. F : UCB-L1 90308, Per1 à 3 droites et fragment de PL1, face ventrale.

Fig. G : UCB-L1 90308, Per1 à 3 droites et fragment de PL1, face dorsale.

***Mauremys portisi* (Sacco, 1889) ; coll. Musée de Turin (Italie) ; Val d'Andona (Piémont, Italie) ; Pliocène supérieur.**

Fig. H : Holotype, carapace, face ventrale.

Fig. H : Holotype, carapace, face dorsale.

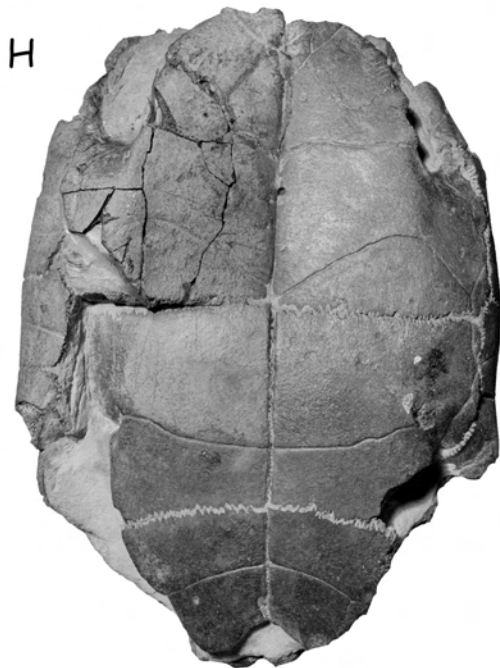
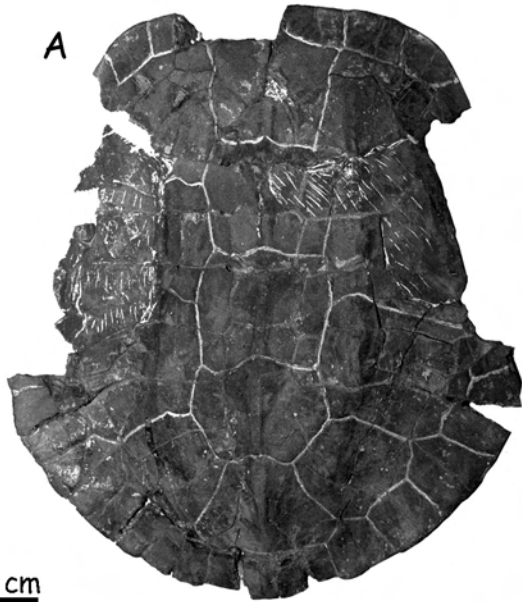


Planche 78

***Mauremys pygolopha* (Peters, 1869) ; coll. MNHN ; Artenay (Loiret, France) ; Miocène inférieur.**

Fig. A : ART 506, dossière, face ventrale.

Fig. B : ART 506, dossière, face dorsale.

Fig. C : ART 506, plastron, face dorsale.

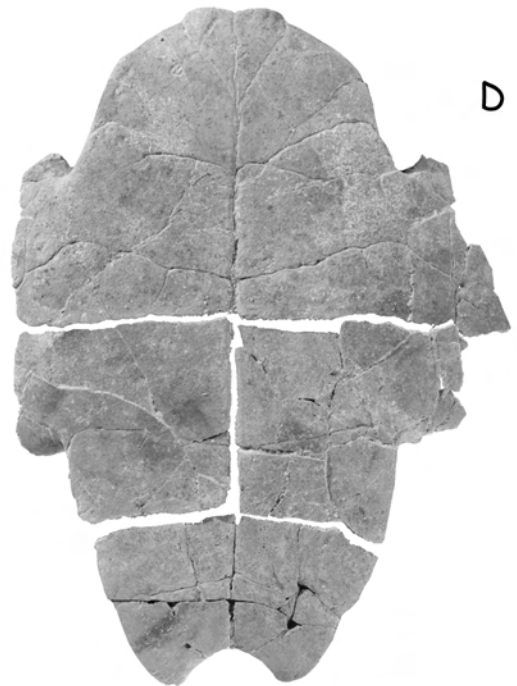
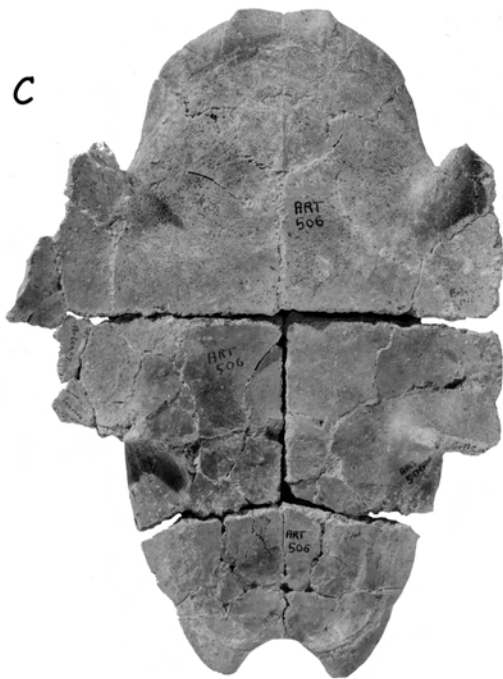
Fig. D : ART 506, plastron, face ventrale.

Fig. E : ART 373, lobe antérieur de plastron, face dorsale.

Fig. E : ART 373, lobe antérieur de plastron, face ventrale.



2 cm



2 cm



1 cm

Planche 79

Mauremys pygolopha (Peters, 1869) ; coll. MNHN ; Artenay (Loiret, France) ; Miocène inférieur.

Fig. A à E : épipلاstrons gauches, face dorsale.

- A : ART 397
- B : ART 371
- C : ART 396
- D : ART 395
- E : ART 394

Fig. F à L : épipلاstrons droits, face dorsale.

- F : ART 382
- G : ART 372
- H : ART 381
- I : ART 384
- J : ART 383
- K : ART 385
- L : ART 386

Fig. M : ART 388, entopلاstron, face ventrale.

Fig. N : ART 389, entopلاstron, face ventrale.

Fig. O : ART 391, entopلاstron, face ventrale.

Fig. P : ART 504, pleurale 5 gauche, face ventrale.

Fig. Q : ART 487, pleurale 1 gauche, face ventrale.

Fig. R : ART 488, pleurale 1 gauche, face ventrale.

Fig. S : ART 479, SP2, face dorsale.

Fig. T1 : ART 440, nucale, face dorsale.

Fig. T2 : ART 440, nucale, face ventrale.

Fig. U1 : ART 437, nucale, face dorsale.

Fig. U2 : ART 437, nucale, face ventrale.

Fig. V : ART 376, xiphipلاstron gauche, face dorsale.

Fig. W : ART 398, xiphipلاstron droit, face dorsale.

Fig. X : ART 427, Per3 droite, face interne (flèche : pore à musc).

Fig. Y : ART sans numéro, Per7 gauche, face interne (flèche : pore à musc).

Fig. Z : ART 457, Per7 droite, face interne (flèche : pore à musc).

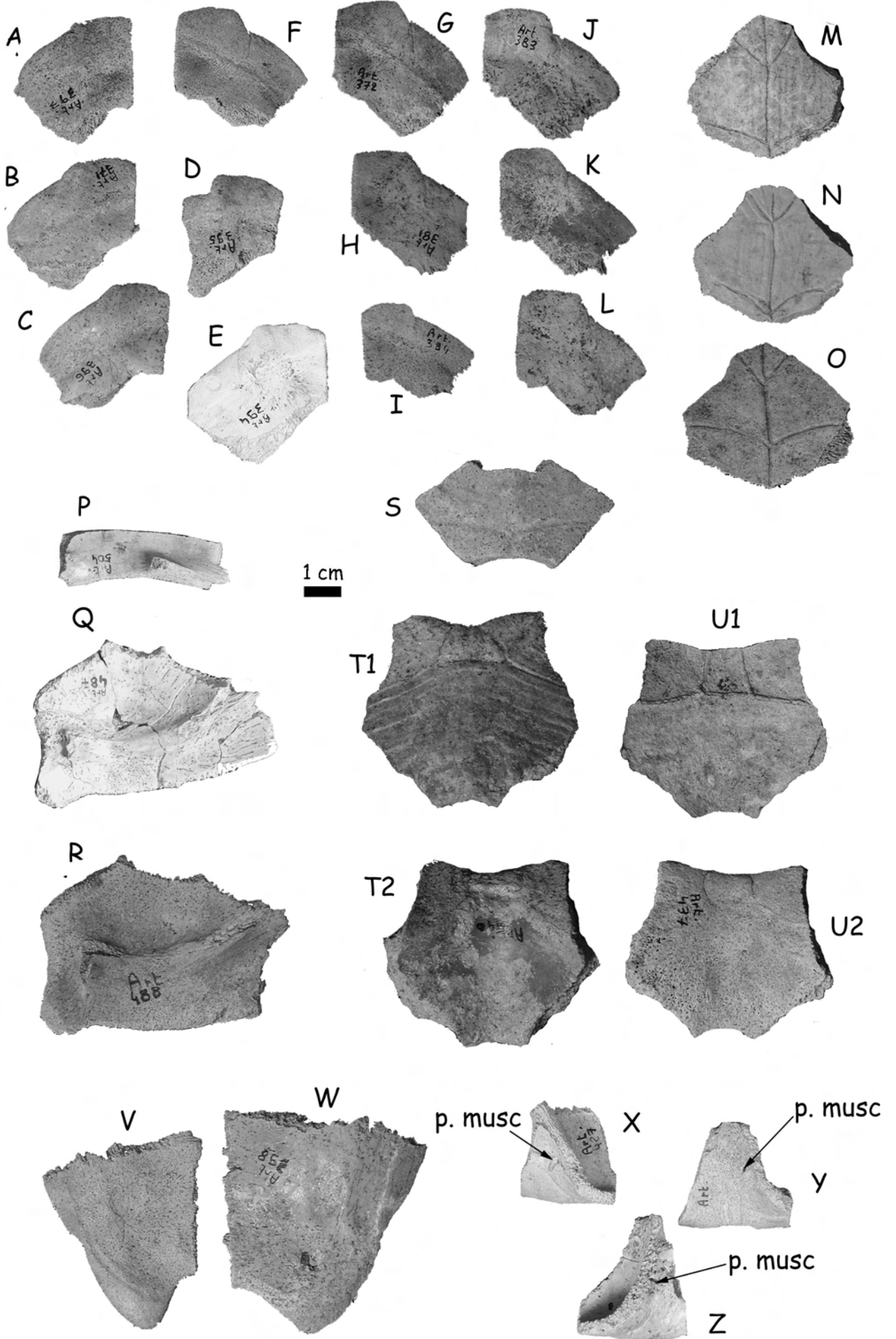


Planche 80

***Mauremys sarmatica* (Purschke, 1885) ; Langenau (Allemagne), Miocène inférieur.**

Fig. A : SMNS 80002, plastron, face dorsale.

Fig. B : SMNS 80002, plastron, face ventrale.

Fig. C : SMNS 85980, fragment antérieur de plastron, face ventrale.

Fig. D : SMNS 85980, fragment antérieur de plastron, face dorsale.

Fig. E : SMNS 80002, dossière, partie latérale, face ventrale.

Fig. F : SMNS 80002, dossière, partie postérieure, face dorsale.

Fig. G : SMNS 80002, dossière, partie antérieure, face dorsale.

Fig. H : SMNS 80576, fragment de dossière, face dorsale.

Fig. I : SMNS 80576, plastron, face ventrale.

Fig. H : SMNS 80576, plastron, face dorsale.

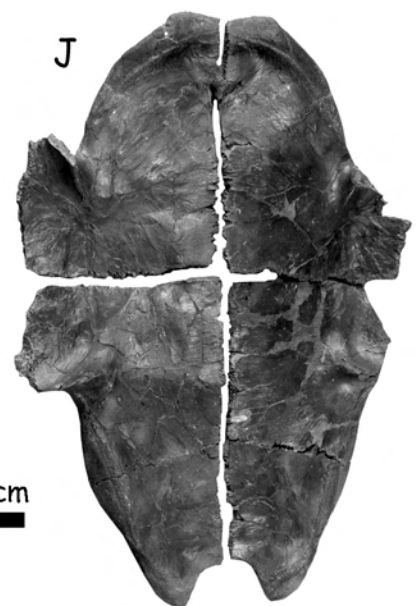
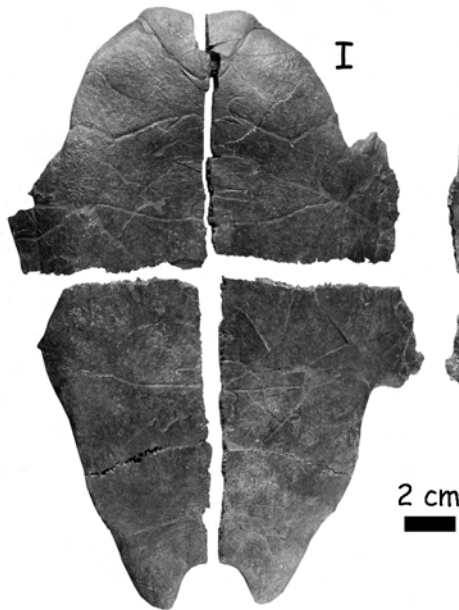
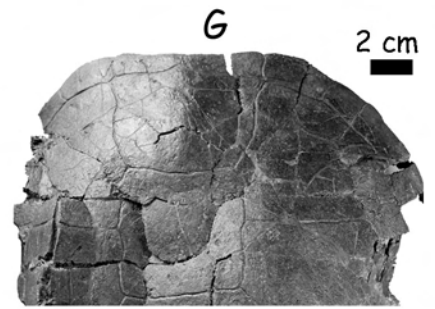
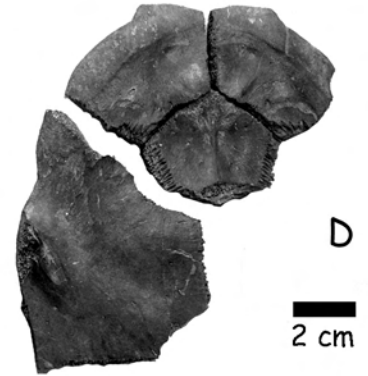
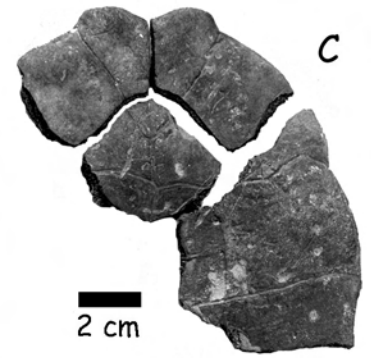
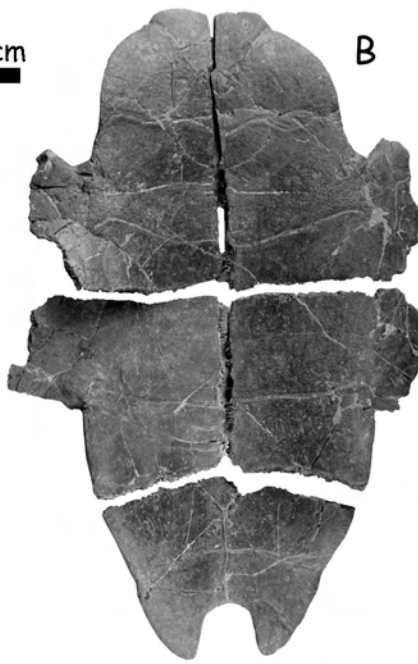
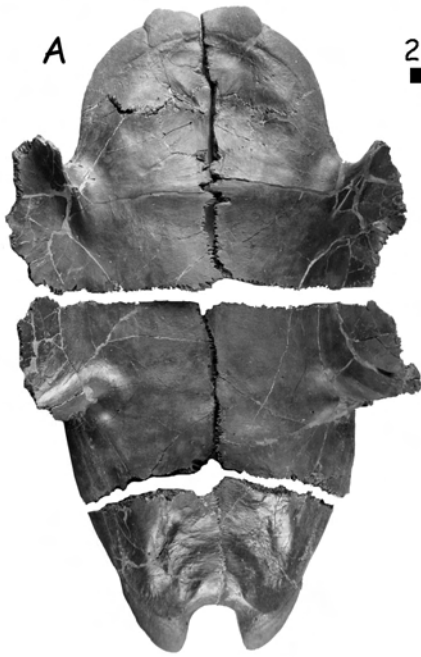


Planche 81

***Mauremys sarmatica* (Purschke, 1885) ; Langenau (Allemagne), Miocène inférieur.**

Fig. A : SMNS 53450, fragment antérieur de plastron, face dorsale.

Fig. B : SMNS 53450, fragment postérieur de plastron, face dorsale.

Fig. C : SMNS 53450, fragment antérieur de plastron, face ventrale.

Fig. D : SMNS 53450, fragment postérieur de plastron, face ventrale.

Fig. I : SMNS 55150, fragment antérieur de carapace, face dorsale.

Fig. J : SMNS 55150, fragment antérieur de carapace, face ventrale.

Fig. M : SMNS 55150, fragment postérieur de plastron, face ventrale.

Fig. N : SMNS 55150, fragment postérieur de carapace, face dorsale.

***Mauremys* « *sophiae* » (Ammon, 1911) ; Dechbetten bei Regensburg (Allemagne) ;
Miocène moyen.**

Fig. E : BSP 1959 II 1515+1587+1608+1610+1612+1727, fragment antérieur de dossière, face ventrale.

Fig. F : BSP 1959 II 1515+1587+1608+1610+1612+1727, fragment antérieur de dossière, face dorsale.

Fig. G : BSP 1959 II 1542+1545, épiplastrons, face ventrale.

Fig. H : BSP 1959 II 1516, xiphiplastron gauche, face ventrale.

Fig. K : BSP 1959 II 1549+1584, fragment antérieur de plastron, face ventrale.

Fig. L : BSP 1959 II 1583, fragment antérieur de plastron, face ventrale.

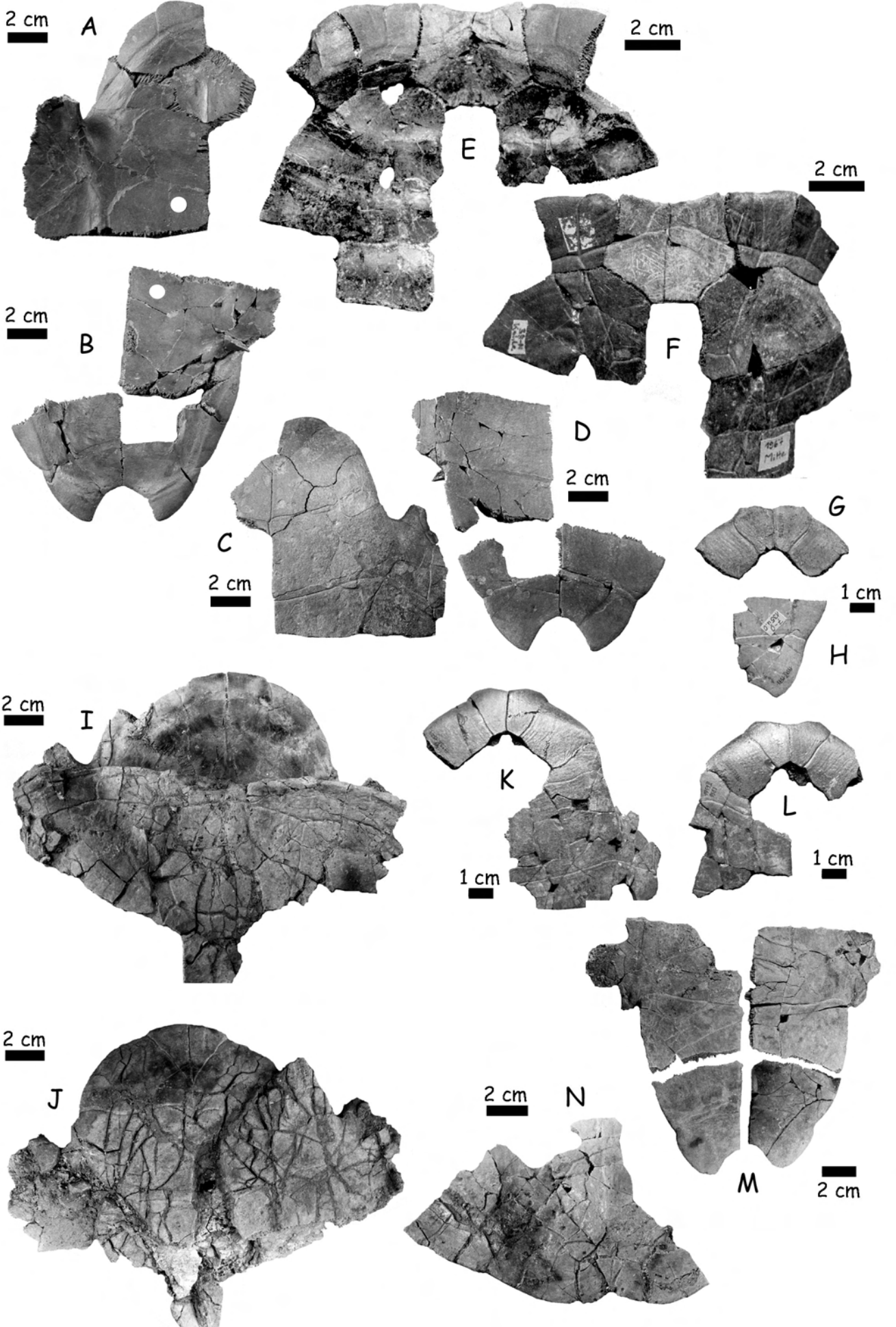


Planche 82

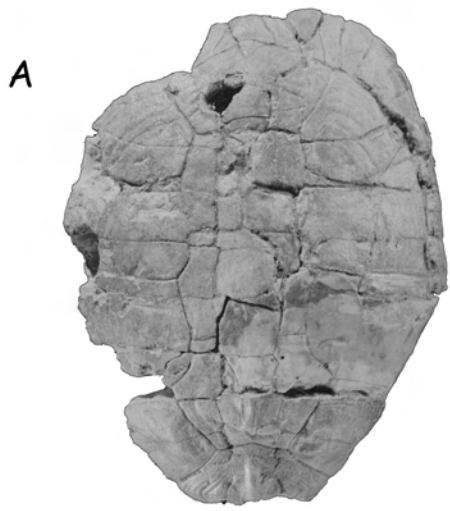
***Mauremys gaudryi* (Depéret, 1885) ; Perpignan et ses environs (Pyrénées-Orientales, France) ; Pliocène.**

Fig. A : Lectotype, MNHN PER 75, carapace, face dorsale.

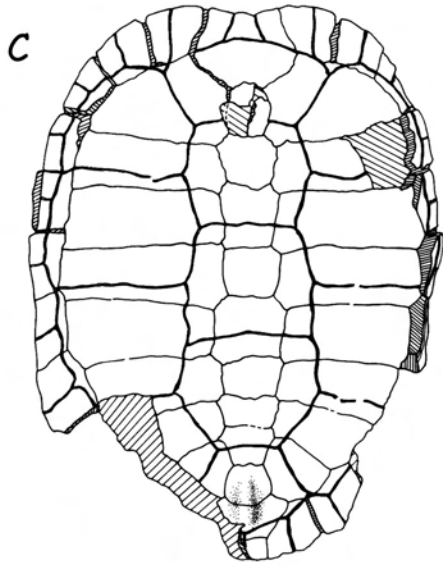
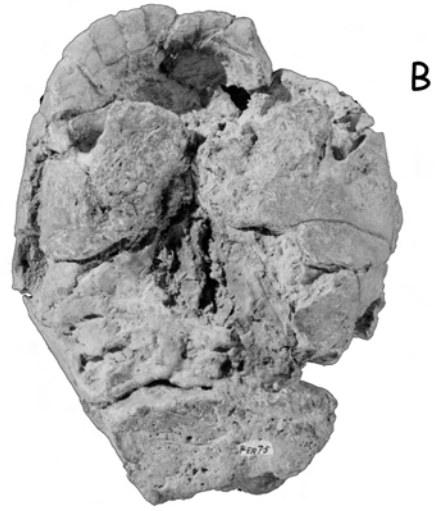
Fig. B : Lectotype, MNHN PER 75, carapace, face ventrale.

Fig. C et E : UPS-T3, carapace, face dorsale (fig. C, d'après Broin, 1977).

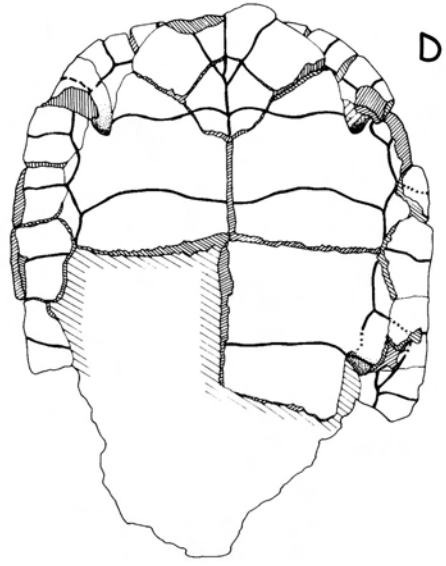
Fig. D et F : UPS-T3, carapace, face ventrale (fig. D, d'après Broin, 1977).



1 cm



2 cm



2 cm



Planche 83

***Landreatchelys oweni* (Lydekker, 1889) ; Holotype BMNH 36811 ; Hordle Cliff (Grande-Bretagne) ; Eocène supérieur.**

Fig. A : xiphiplastrons, face ventrale.

Fig. B : xiphiplastrons, face dorsale.

Fig. C : lobe antérieur, face ventrale.

Fig. D : lobe antérieur, face dorsale.

Fig. E : pleurales, face dorsale.

***Landreatchelys oweni* (Lydekker, 1889) ; BMNH R1562 ; Hordle Cliff (Grande-Bretagne) ; Eocène supérieur.**

Fig. F : pleurales, face dorsale.

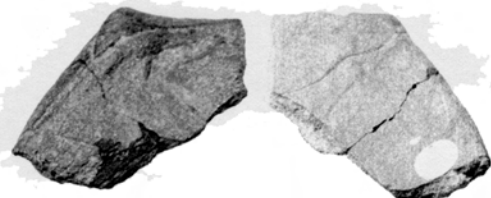
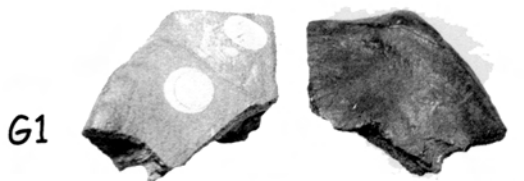
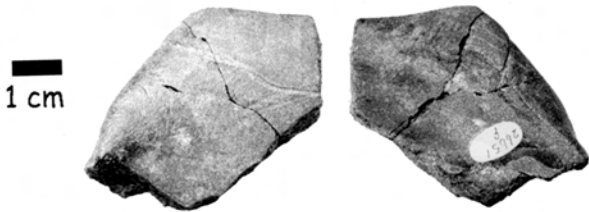
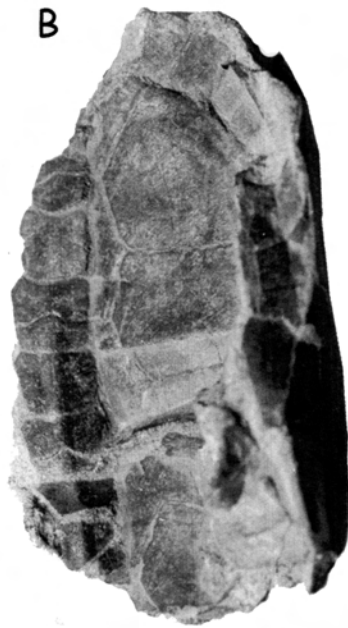
Fig. G : pygale, face dorsale.

Fig. H : SP1, SP2 et fragments des PL7 et 8 droites, face dorsale.

***Landreatchelys oweni* (Lydekker, 1889) ; BMNH R1562 (coll. Pomel) ; La Débruge (Vaucluse, France) ; Eocène supérieur.**

Fig. I : hyoplastron gauche, face dorsale.

Fig. J : hyoplastron gauche, face ventrale.



1 cm

1 cm

Planche 84

***Landreatchelys oweni* (Lydekker, 1889) ; BMNH 26651a (coll. Pomel) ; La Débruge (Vaucluse, France) ; Eocène supérieur.**

Fig. A : dossière, face dorsale, vue latérale gauche.

Fig. B : dossière, face dorsale, vue latérale droite.

Fig. C : dossière, face ventrale.

***Landreatchelys oweni* (Lydekker, 1889) ; MNHN 1940-402 ; La Débruge (Vaucluse, France) ; Eocène supérieur.**

Fig. D : épipلاstrons et entopلاstron, face ventrale.

Fig. E : épipلاstrons et entopلاstron, face dorsale.

***Landreatchelys oweni* (Lydekker, 1889) ; coll. Pomel ; La Débruge (Vaucluse, France) ; Eocène supérieur.**

Fig. F1 : épipلاstron droit, BMNH 26651f, face ventrale.

Fig. F2 : épipلاstron droit, BMNH 26651f, face dorsale.

Fig. H1 : épipلاstron gauche, BMNH 26651i, face dorsale.

Fig. H2 : épipلاstron gauche, BMNH 26651i, face ventrale.

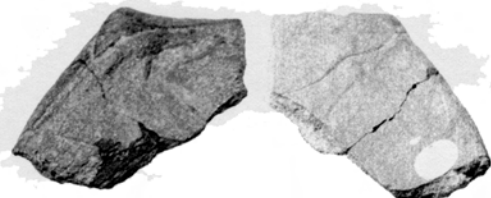
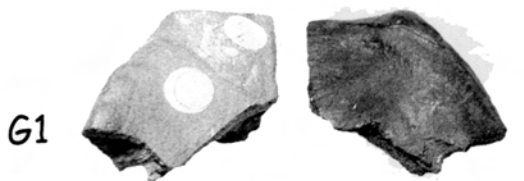
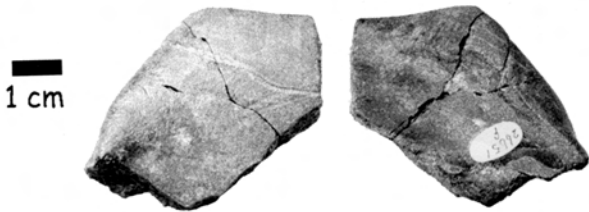
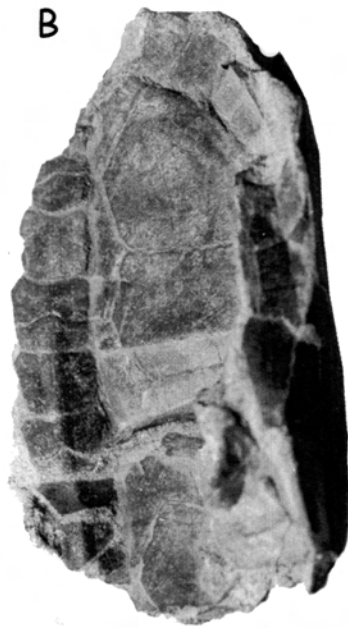
Forme indéterminée du groupe « *Palaeochelys s. l.* – *Mauremys* » ; coll. Pomel ; La Débruge (Vaucluse, France) ; Eocène supérieur.

Fig. G1 : épipلاstron droit, BMNH 26651k, face ventrale.

Fig. G2 : épipلاstron droit, BMNH 26651k, face dorsale.

Fig. I1 : épipلاstron gauche, BMNH 26651g, face dorsale.

Fig. I12 : épipلاstron gauche, BMNH 26651g, face ventrale.



1 cm

1 cm

Planche 85

***Landreatchelys oweni* (Lydekker, 1889) ; Chéry-Chartreuve (Aisne) ; Eocène moyen.**

- Fig. A : lobe antérieur de plastron, MNHN CHC 1A, face dorsale.
Fig. B : lobe antérieur de plastron, MNHN CHC 1A, face ventrale.
Fig. C : PL1 et Ne1, MNHN CHC 1B, face ventrale.
Fig. D : PL1 et Ne1, MNHN CHC 1B, face dorsale.
Fig. E : Per1, MNHN CHC 3, face dorsale.
Fig. F : PL1 gauche, MNHN CHC 2, face dorsale.
Fig. G : fragment postérieur de dossière, MNHN CHC 4, face dorsale.

Forme indéterminée du groupe « *Palaeochelys s. l.* – *Mauremys* » ; Chéry-Chartreuve (Aisne) ; Eocène moyen.

- Fig. H : PL1 gauche, face ventrale.
Fig. I : PL1 gauche, face dorsale.
Fig. J : fragment antérieur de dossière, face dorsale.

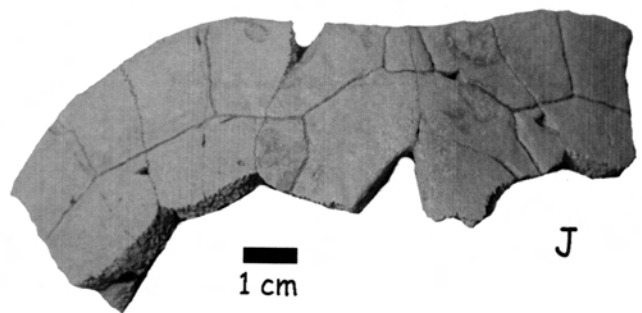
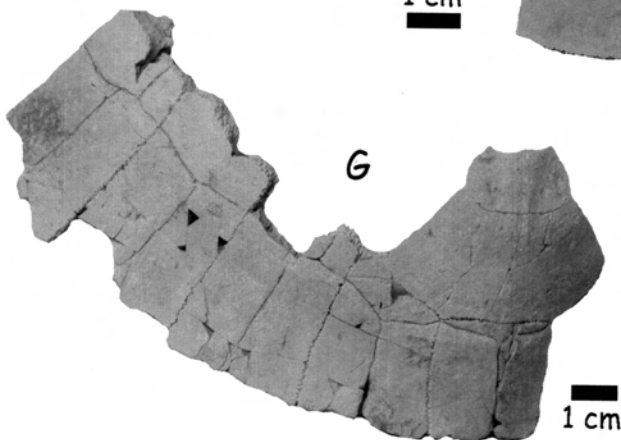
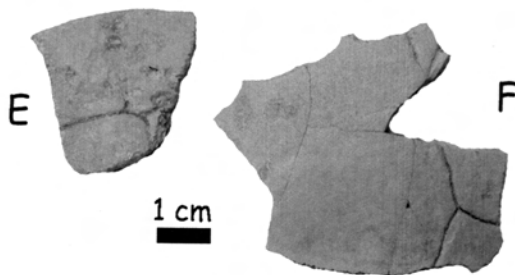
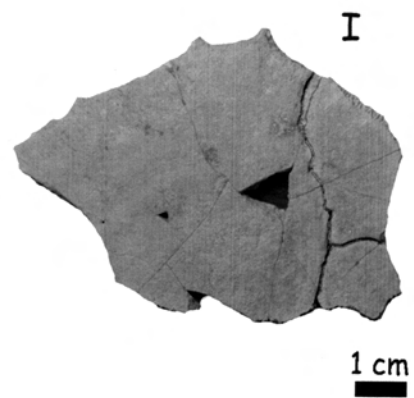
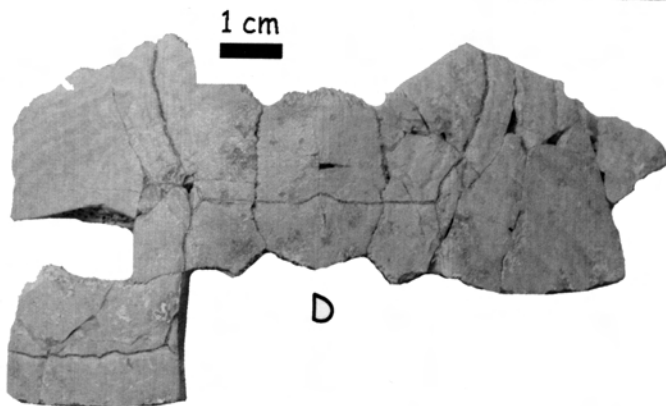
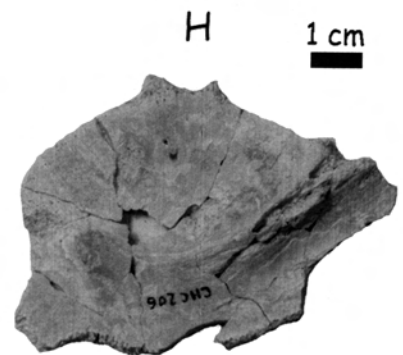
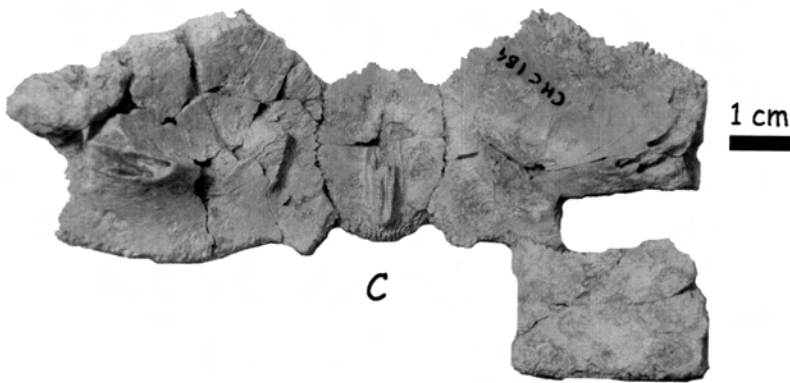
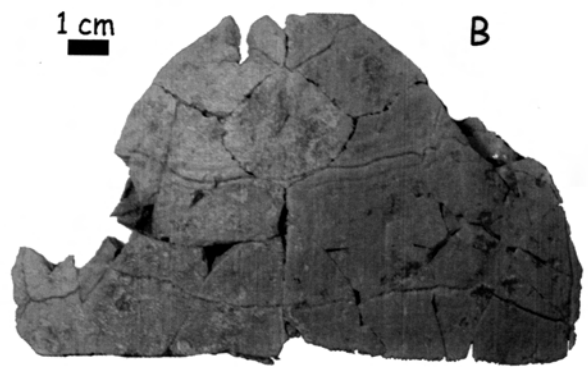
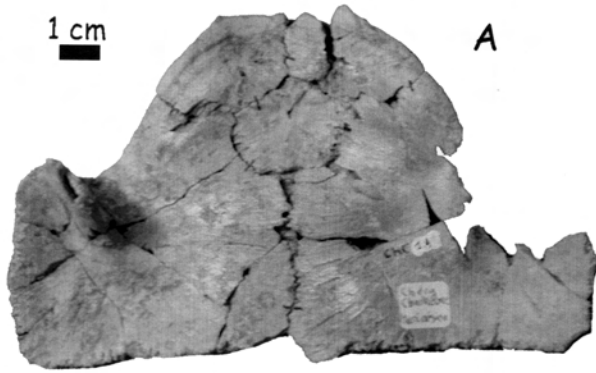


Planche 86

Forme indéterminée du groupe « *Palaeochelys s. l.* – *Mauremys* » ; coll. UM2-STL ; Aumelas (Hérault, France) ; Eocène moyen ; Lutétien supérieur.

Fig. A : fragment antérieur de carapace, face dorsale.

Fig. B : fragment antérieur de carapace, face ventrale.

Forme indéterminée du groupe « *Palaeochelys s. l.* – *Mauremys* » ; MNHN 8410 ; Saint-Germain-Lembron (Puy-de-Dôme, France) ; Oligocène supérieur.

Fig. C : fragment de dossière, face dorsale.

Forme indéterminée du groupe « *Palaeochelys s. l.* – *Mauremys* » ; UM2-STL SCX 4761 ; Sainte-Croix-de-Brignon (Brignon, Gard) ; Priabonien.

Fig. D : PL1, face ventrale.

Fig. E : PL1, face dorsale.

Fig. F et G : épiplestron, face ventrale (F) et dorsale (G).

Fig. H et I : épiplestron, face ventrale (H) et dorsale (I).

